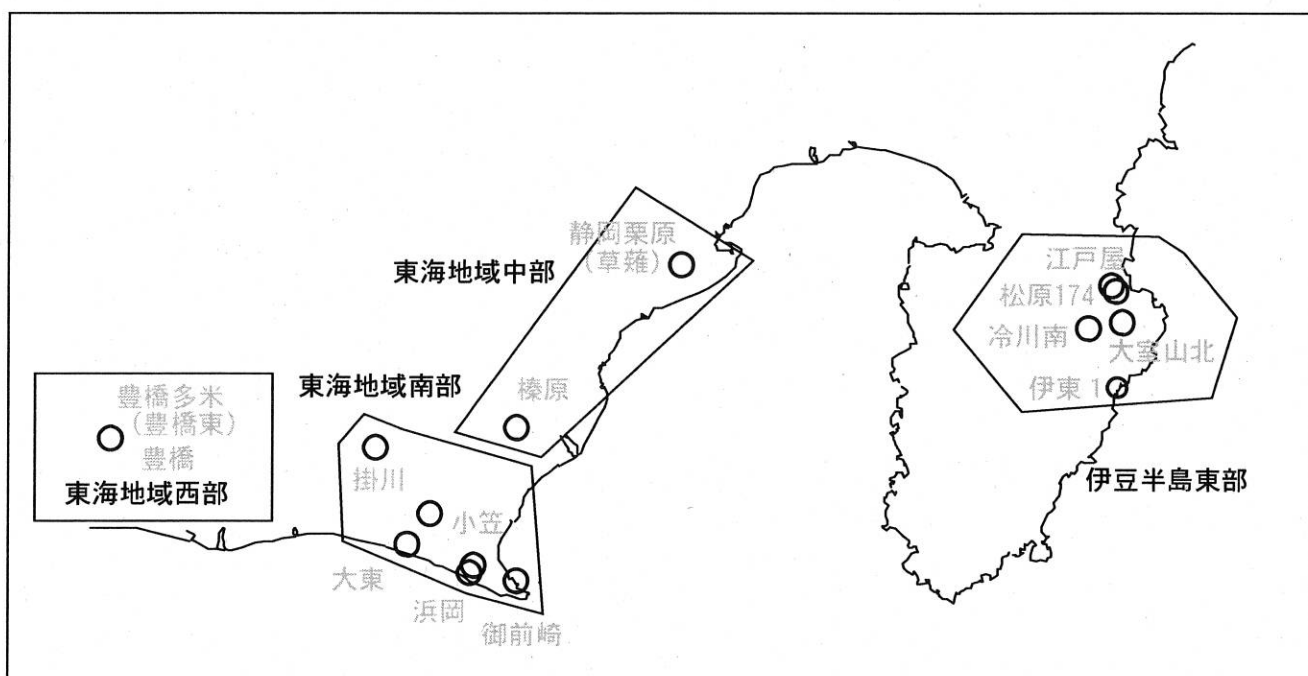


第312回 地震防災対策強化地域判定会

産業技術総合研究所

地質調査総合センター資料

産総研地質調査総合センター地下水観測井配置図
(伊豆・東海地域テレメータ連続観測)



平成24年4月23日

【資料目次】

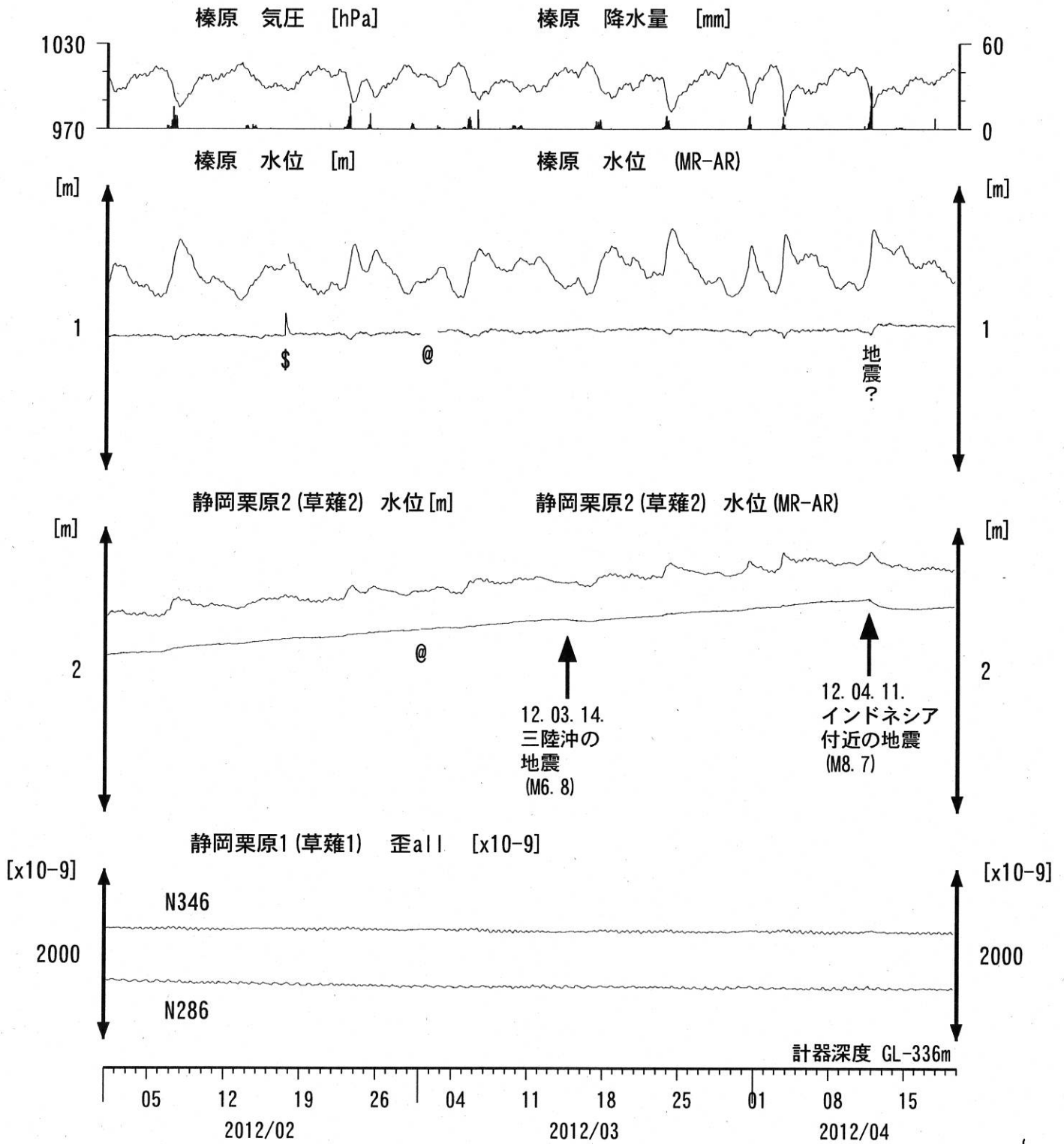
表紙

1. 東海地域中部 [榛原, 静岡栗原(草薙)] 地下水 3成分歪; 中期
- 1-b. 東海地域中部 [静岡栗原(草薙)] 3成分歪; 中期
2. 東海地域中部 [榛原, 静岡栗原(草薙)] 地下水 3成分歪; 長期
3. 東海地域南部 [大東, 小笠, 浜岡, 御前崎] 地下水; 中期
4. 東海地域南部 [大東, 小笠, 浜岡, 御前崎] 地下水; 長期
- 4-b. 東海地域南部 [浜岡] 地下水・沈下; 長期
- 4-c. 東海地域南部 [掛川] 地下水・沈下; 長期
5. 東海地域西部 [豊橋, 豊橋多米(豊橋東)] 地下水・歪・傾斜; 中期
- 5-b. 東海地域西部 [豊橋多米(豊橋東)] 歪等; 中期
6. 東海地域西部 [豊橋・豊橋多米(豊橋東)] 地下水・歪・傾斜; 長期
- 6-b. 東海地域西部 [豊橋多米(豊橋東)] 歪等; 長期
7. 伊豆半島東部 [松原174, 江戸屋, 大室山北, 冷川南, 伊東1] 地下水; 中期
8. 伊豆半島東部 [松原174, 江戸屋, 大室山北, 冷川南, 伊東1] 地下水; 長期
9. 関東地域 [つくば1] 地下水; 中期
10. 関東地域 [つくば1] 地下水; 長期

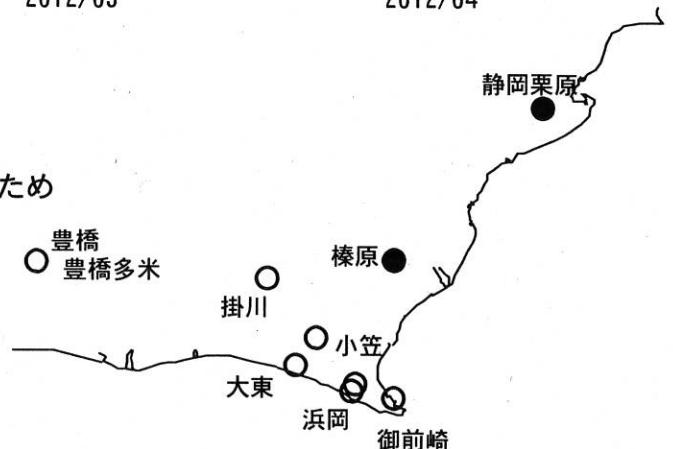
別紙

- ・紀伊半島～愛知県の地下水・歪等観測結果
- ・榛原・浜岡の降雨グラフ

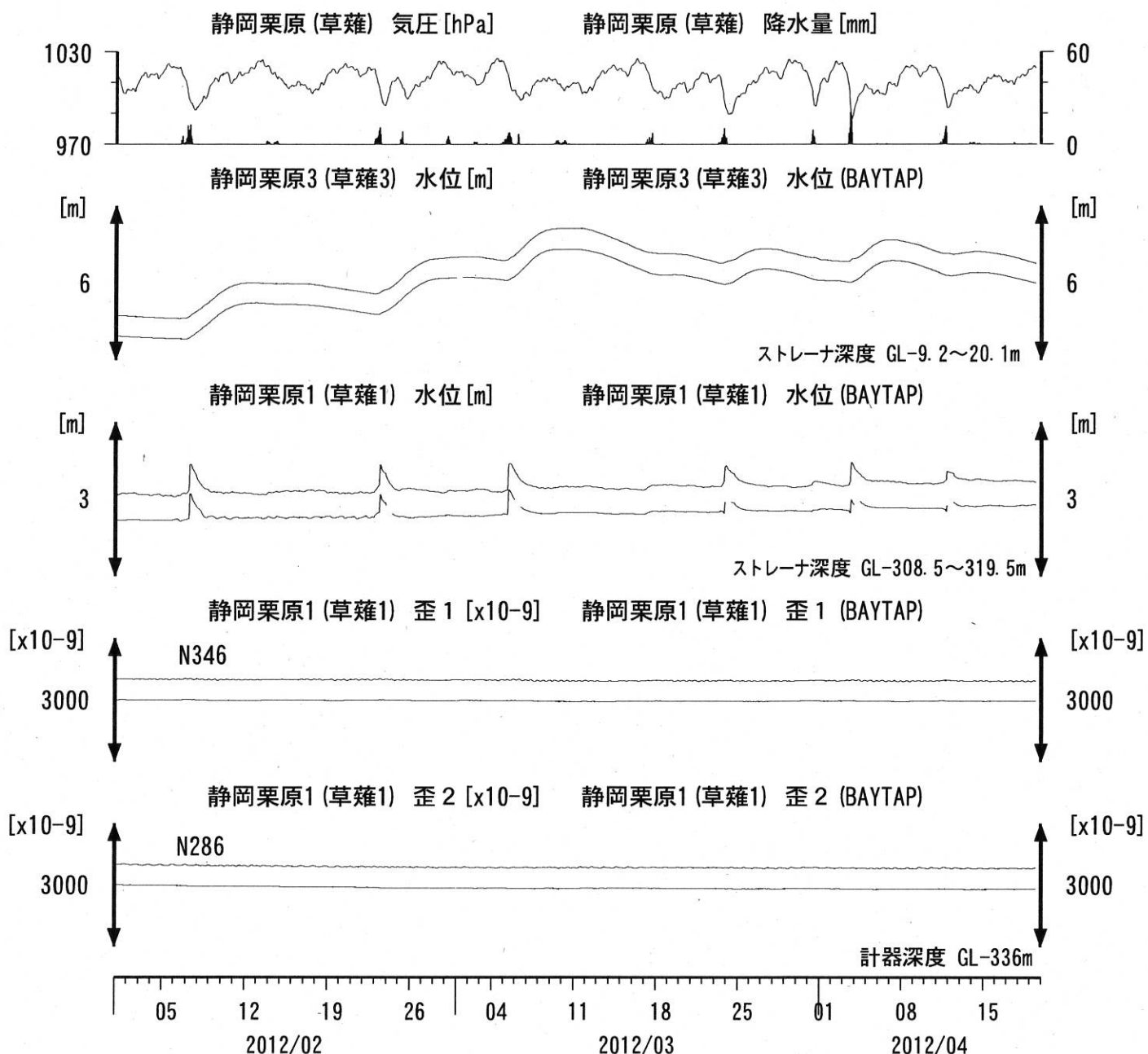
東海地域中部（榛原・草薙）中期（時間値）
 (2012/02/01 00:00 - 2012/04/20 00:00)



コメント：*;雨量補正不十分. \$;保守.
 @;月初めの補正值のギャップは、
 解析プログラムの見かけ上のものである。
 歪3 (N226成分) は2009年6月16日の雷で故障したため
 表示していない。

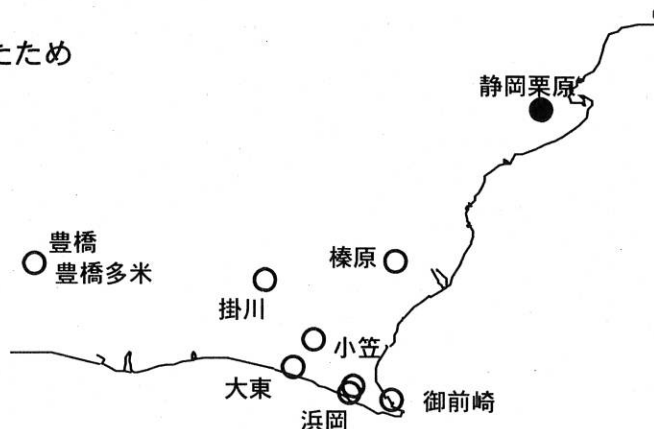


東海地域中部 (草薙・歪) 中期 (時間値)
 (2012/02/01 00:00 - 2012/04/20 00:00)



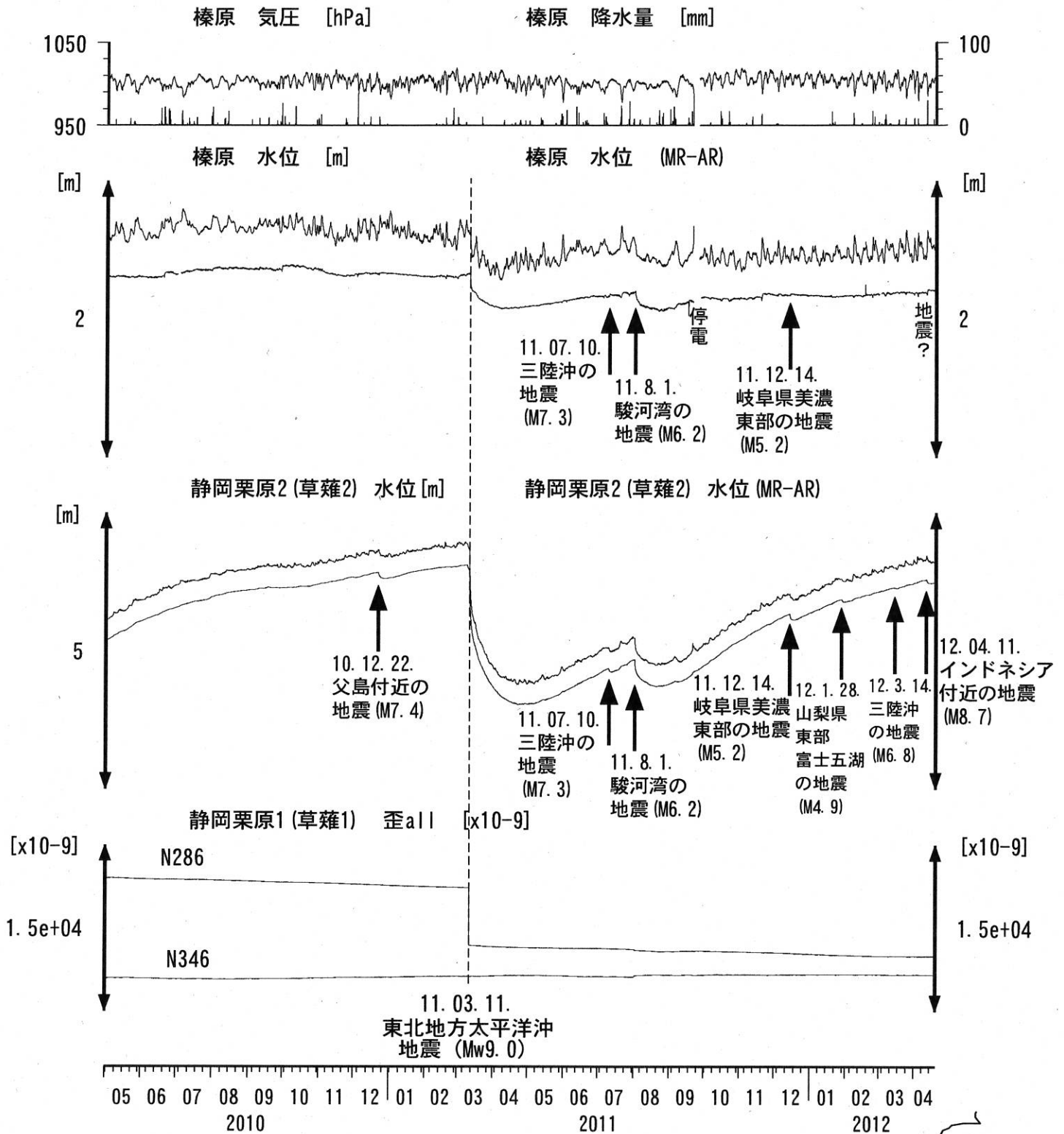
コメント：\$;保守.

静岡栗原1の降雨に伴う水位変化は
 地表から水が流れ込むためと思われる。
 歪3 (N226成分) は2009年6月16日の雷で故障したため
 表示していない。

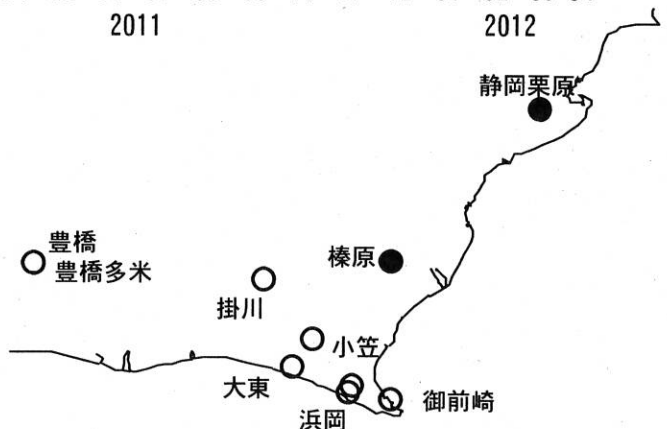


02

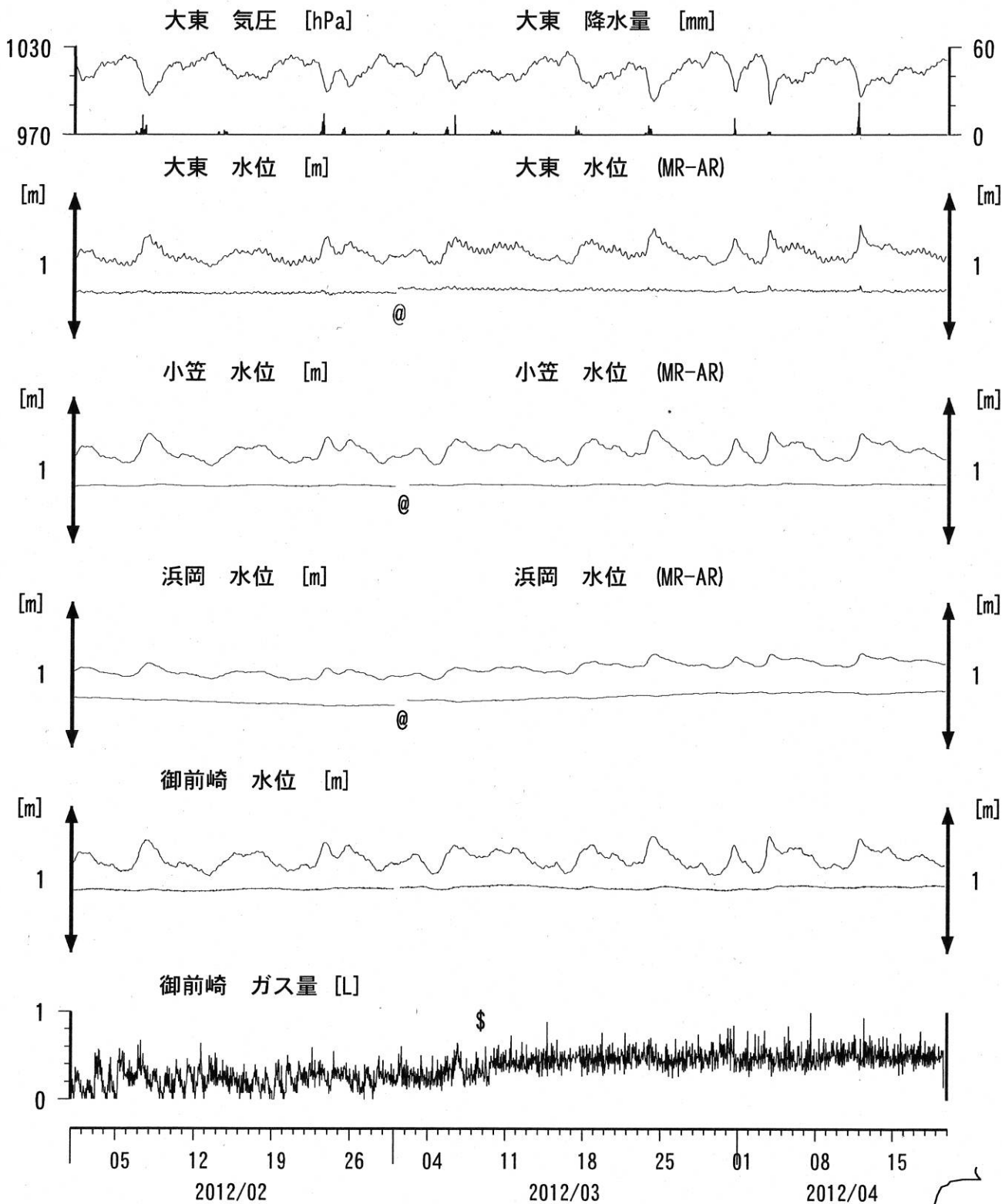
東海地域中部（榛原・草薙）長期（時間値）
 (2010/05/01 00:00 - 2012/04/20 00:00)



コメント：*;雨量補正不十分。?;原因不明。
 歪N226成分が2009年6月16日の雷で故障した。



東海地域南部 地下水観測結果 中期 (時間値)
 (2012/02/01 00:00 - 2012/04/20 00:00)



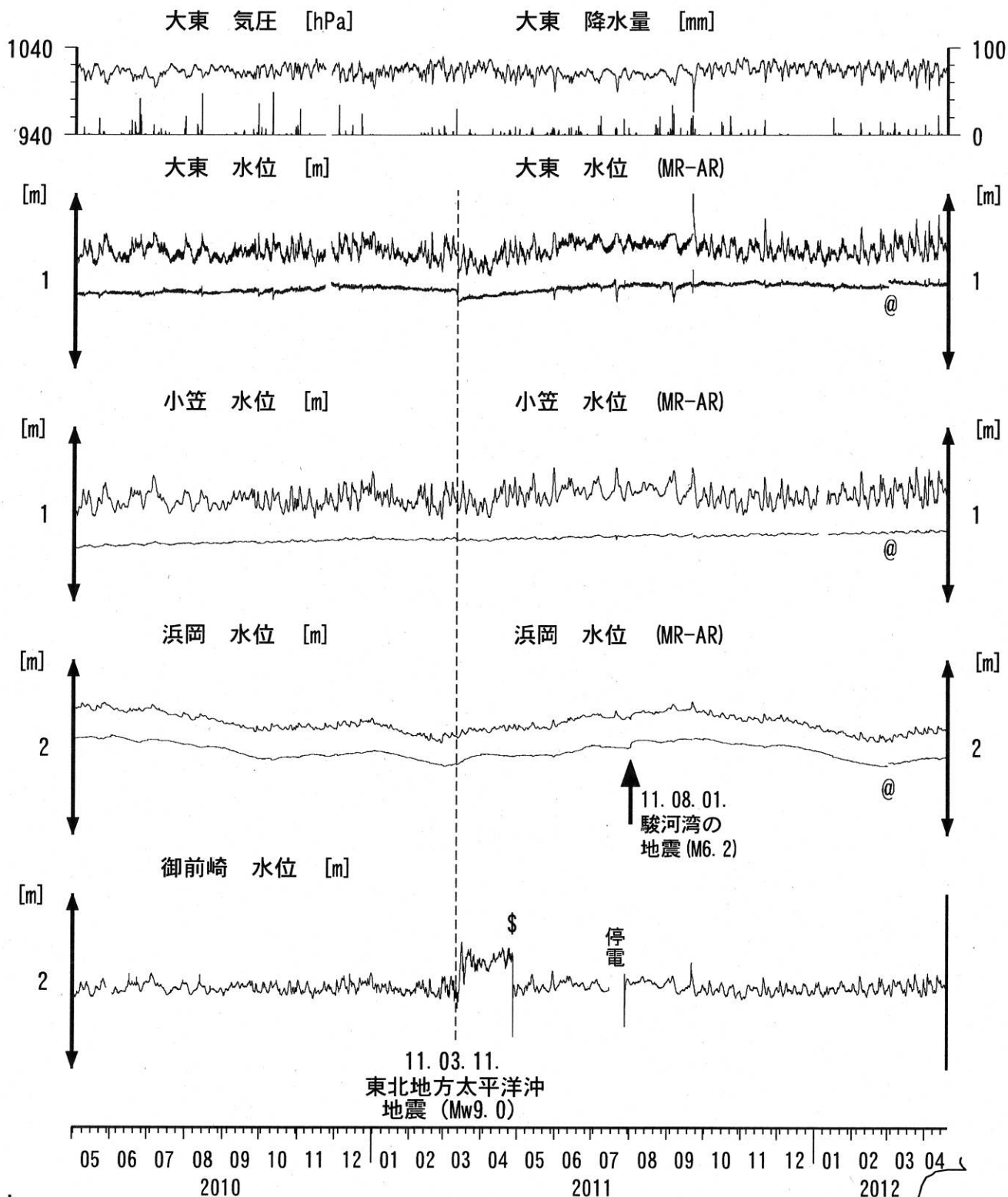
コメント:

*:雨量補正不十分, \$:保守. ?;不明.
 @:月初めの補正值のギャップは,
 解析プログラムの見かけ上のものである.



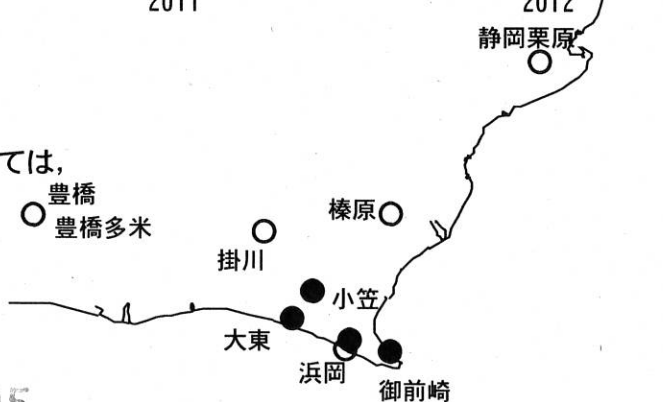
東海地域南部 地下水観測結果 長期 (時間値)

(2010/05/01 00:00 - 2012/04/20 00:00)



コメント:

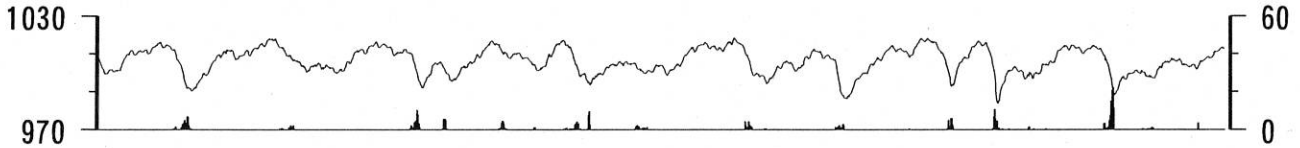
*;雨量補正不十分. \$;保守.
 @;月初めの補正值のギャップは、
 解析プログラムの見かけ上のものである。
 2011年3月15日頃~4月28日の水位の上昇については、
 ガス測定システムの故障によると思われる。
 大東・小笠の井戸口から水が時々溢れるように
 なったので、2011年9月21日に井戸口の管を
 延長した。



東海地域西部（豊橋・豊橋東）中期（時間値）
 (2012/02/01 00:00 - 2012/04/20 00:00)

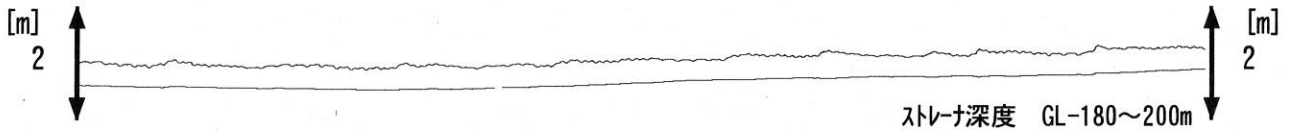
豊橋 気圧 [hPa]

豊橋 雨量 [mm]



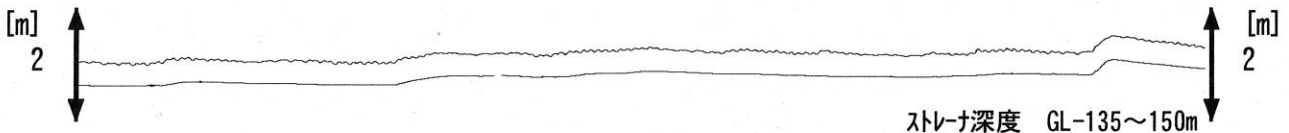
豊橋1 水位 [m]

豊橋1 水位 (BAYTAP)



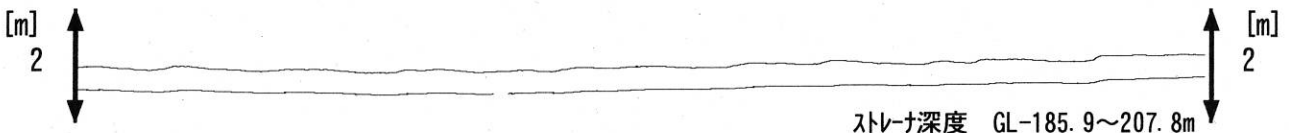
豊橋2 水位 [m]

豊橋2 水位 (BAYTAP)

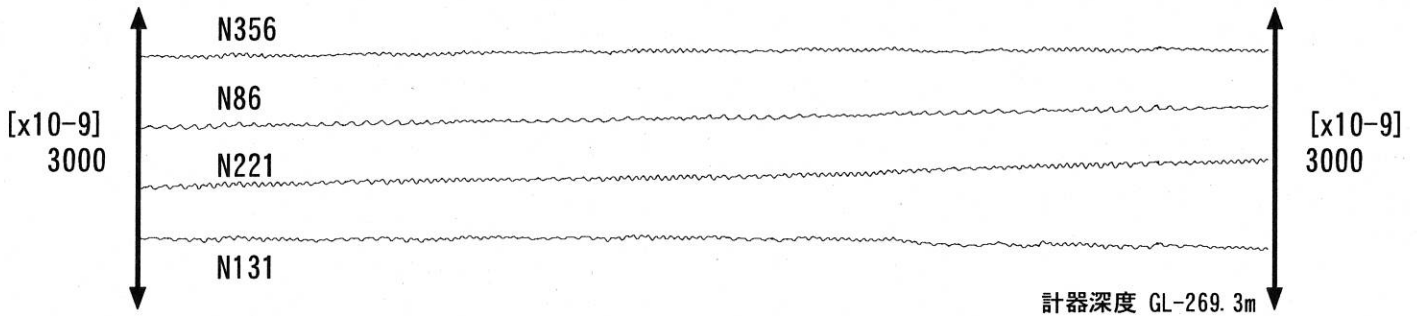


豊橋多米 (豊橋東) 水位 [m]

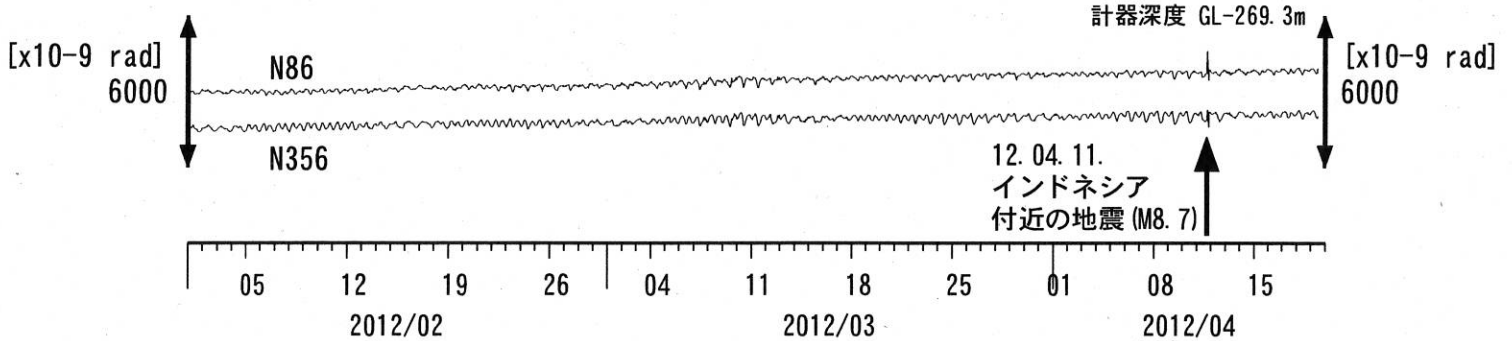
豊橋多米 (豊橋東) 水位 (BAYTAP)



豊橋多米 (豊橋東) 歪 [x10-9]



豊橋多米 (豊橋東) 傾斜 [x10-9]



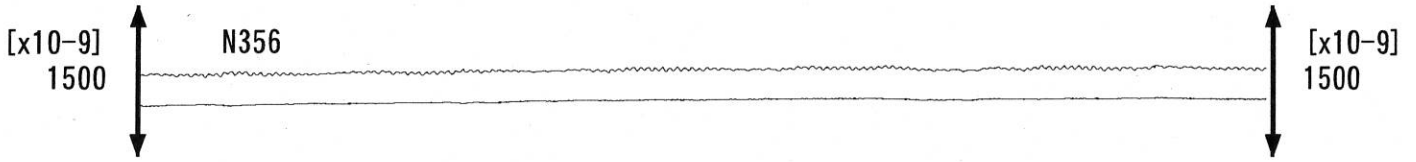
コメント：\$;保守. ?;原因不明.



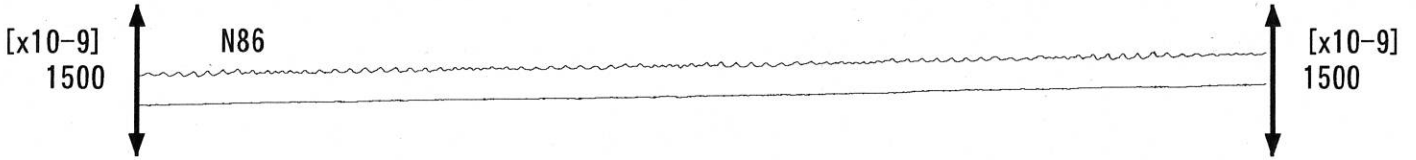
東海地域西部 (豊橋東 歪) 中期 (時間値)

(2012/02/01 00:00 - 2012/04/20 00:00)

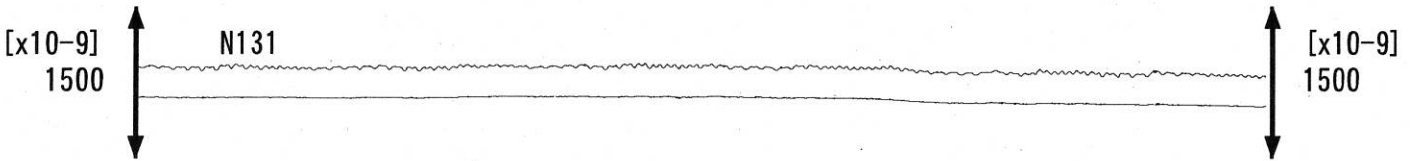
豊橋多米 (豊橋東) 歪N356E [x10⁻⁹] 豊橋多米 (豊橋東) 歪N356E (BAYTAP)



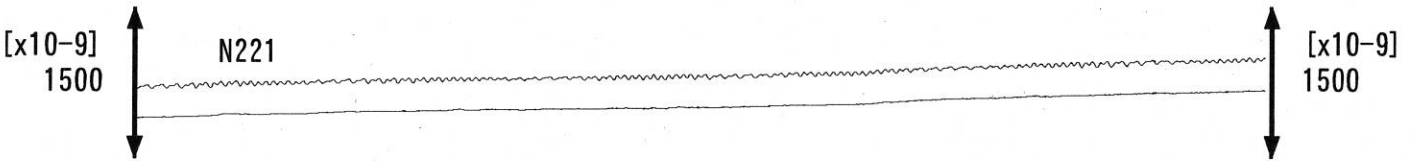
豊橋多米 (豊橋東) 歪N86E [x10⁻⁹] 豊橋多米 (豊橋東) 歪N86E (BAYTAP)



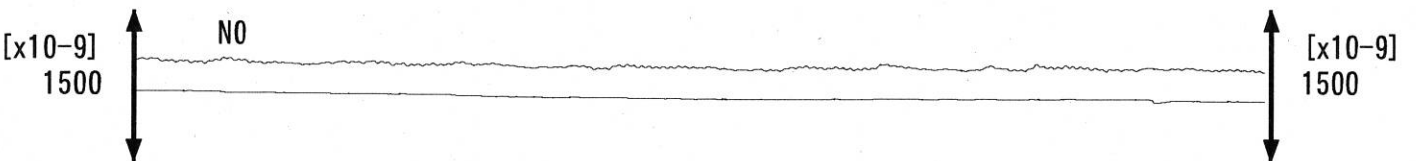
豊橋多米 (豊橋東) 歪N131E [x10⁻⁹] 豊橋多米 (豊橋東) 歪N131E (BAYTAP)



豊橋多米 (豊橋東) 歪N221E [x10⁻⁹] 豊橋多米 (豊橋東) 歪N221E (BAYTAP)



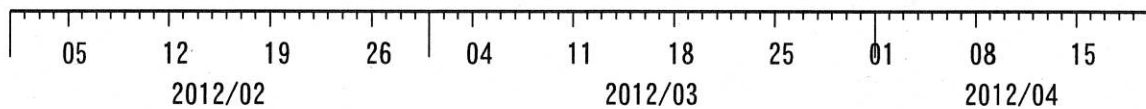
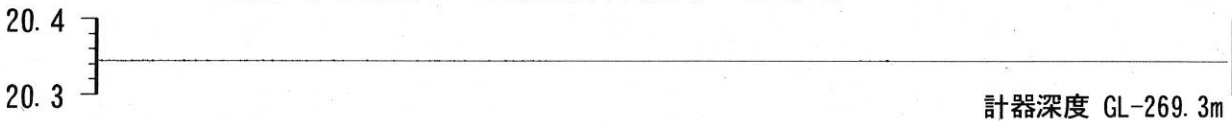
豊橋多米 (豊橋東) 歪鉛直 [x10⁻⁹] 豊橋多米 (豊橋東) 歪鉛直 (BAYTAP)



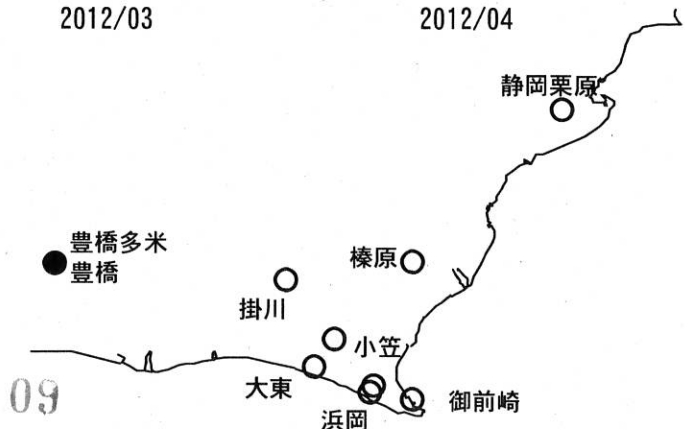
豊橋多米 (豊橋東) 磁力 N356E [nT]



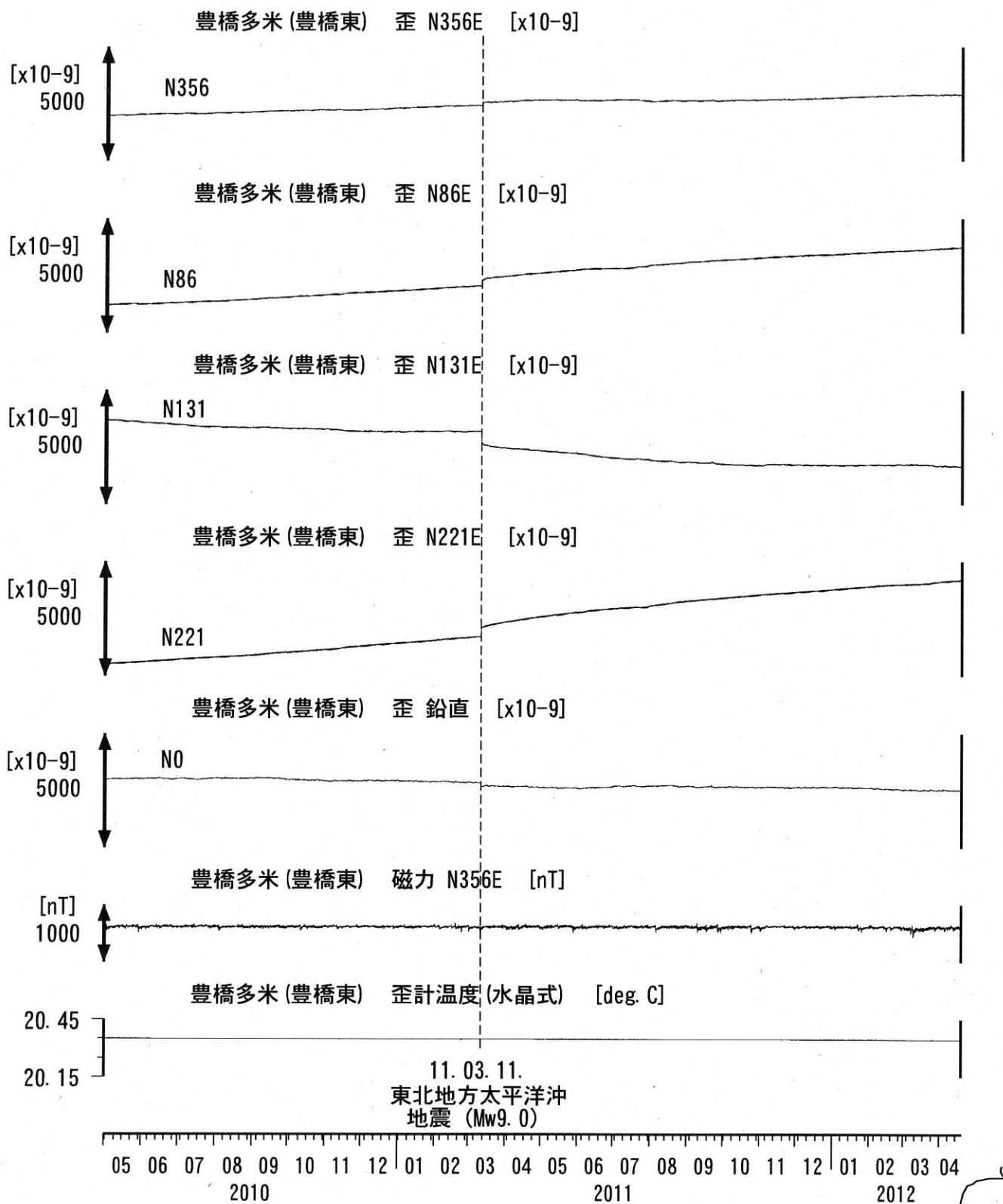
豊橋多米 (豊橋東) 歪計温度 (水晶式) [deg. C]



コメント: \$;保守. ?;原因不明.



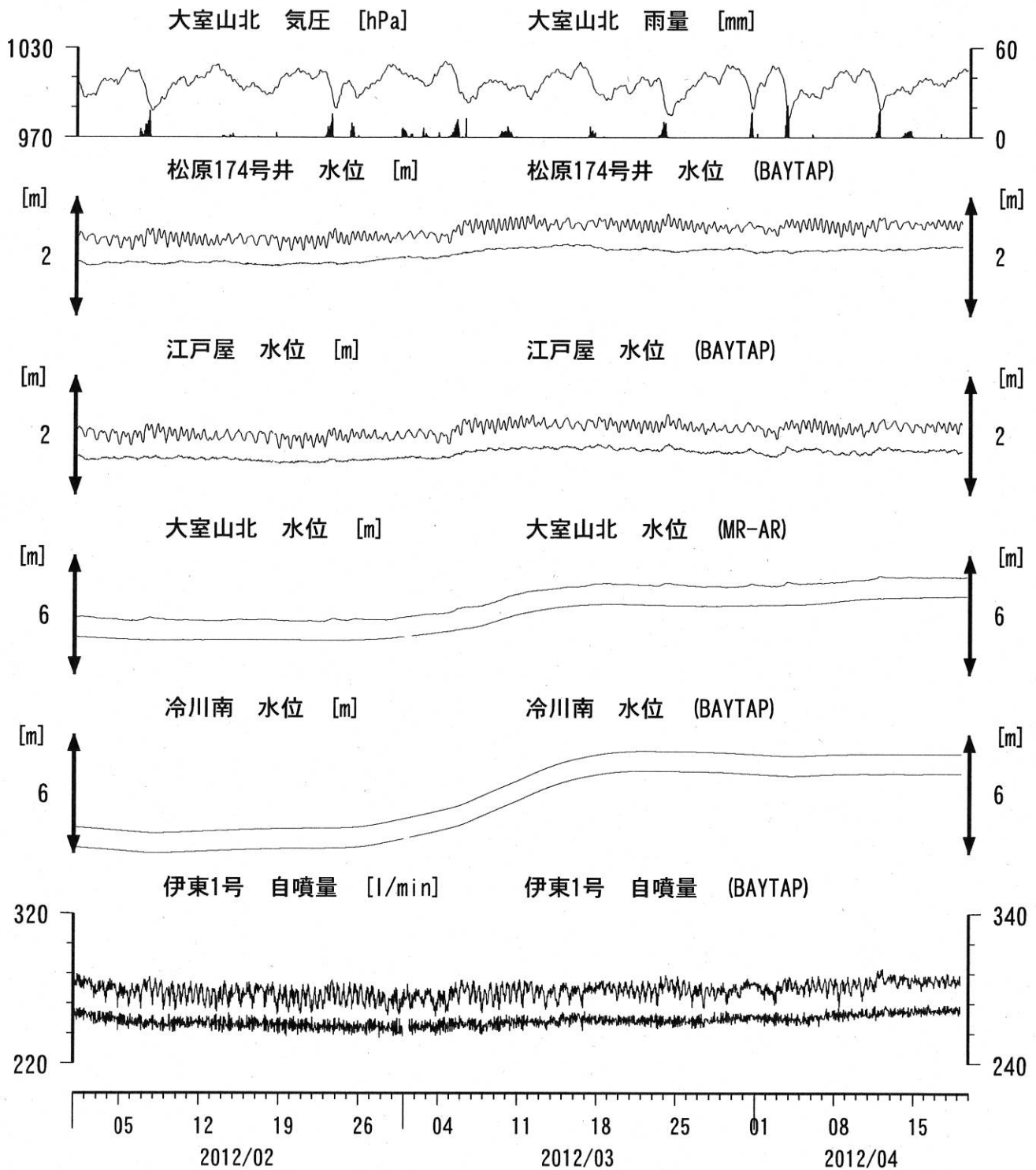
東海地域西部（豊橋東 歪）長期（時間値）
 (2010/05/01 00:00 - 2012/04/20 00:00)



コメント：\$;保守. ?;原因不明.



伊豆半島東部 地下水位・自噴量 中期 (時間値) (2012/02/01 00:00 - 2012/04/20 00:00)



コメント：\$;保守. ?;原因不明.

松原174号井は静岡県による観測.

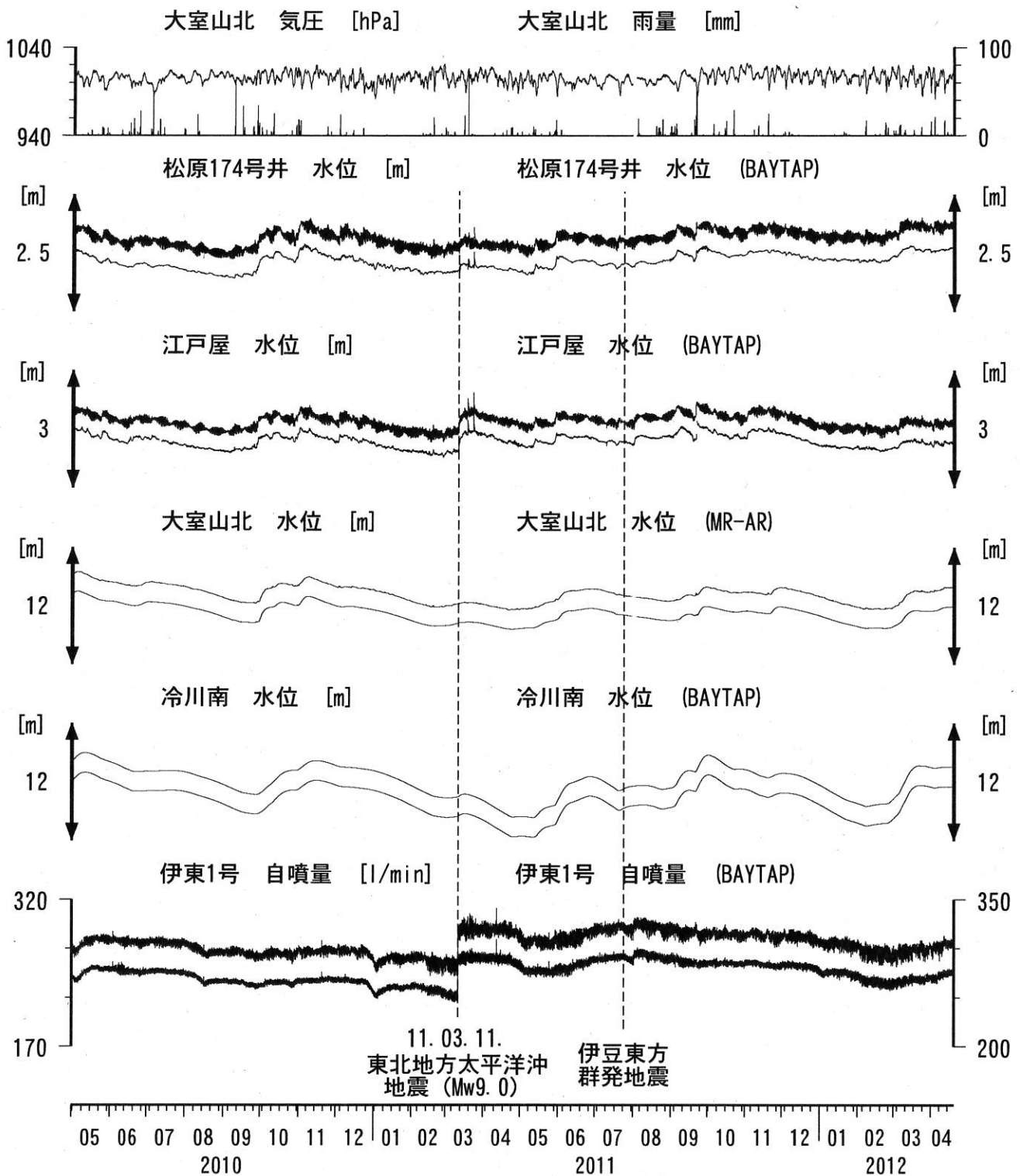
伊東1は、休日・年末年始に周囲の温泉使用量が増加するため、自噴量が減少する.

伊東1の自噴量は、量が少なくなると配管構造のため、見かけ上、値がばらつく.



伊豆半島東部 地下水位・自噴量 長期 (時間値)

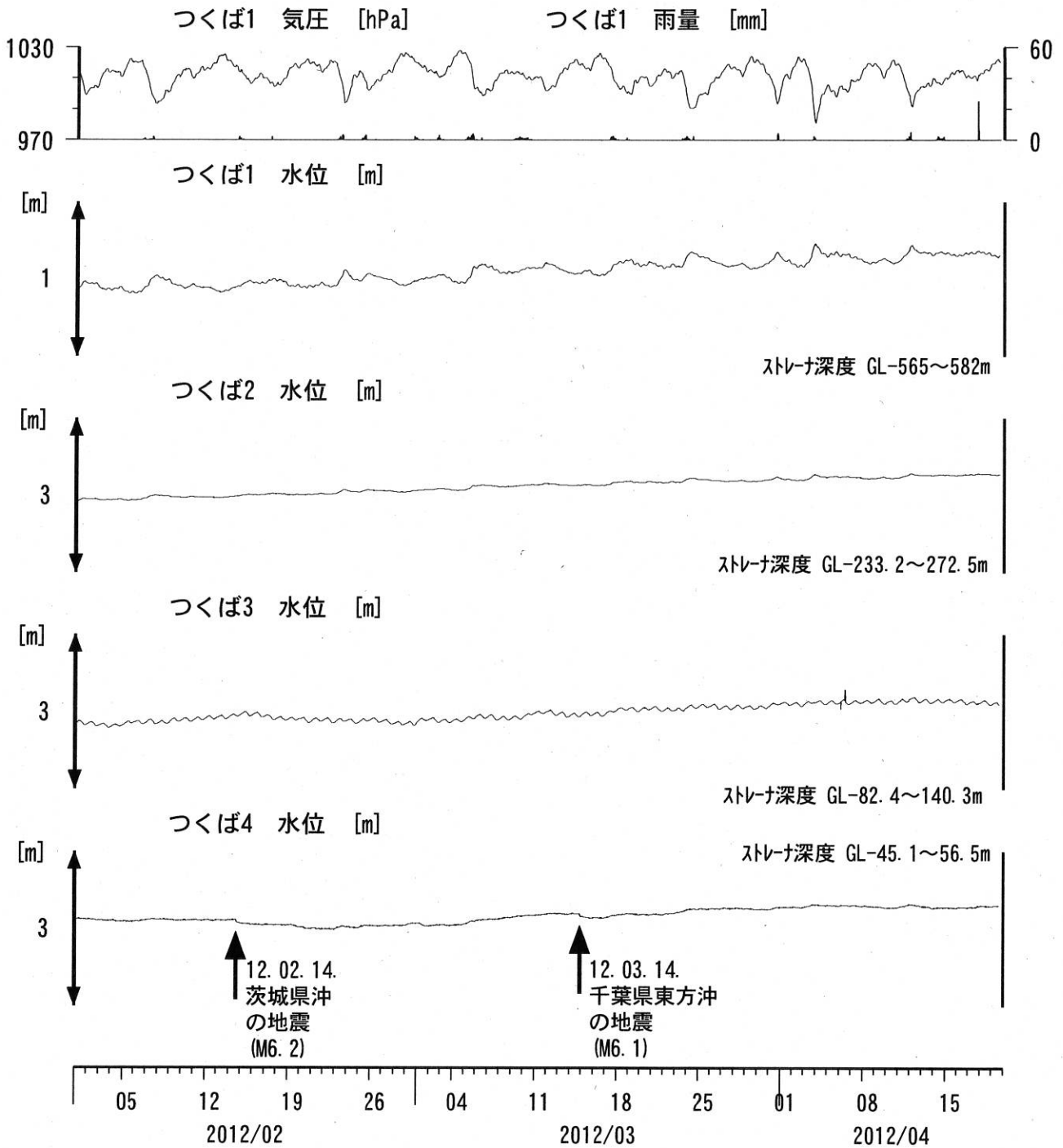
(2010/05/01 00:00 - 2012/04/20 00:00)



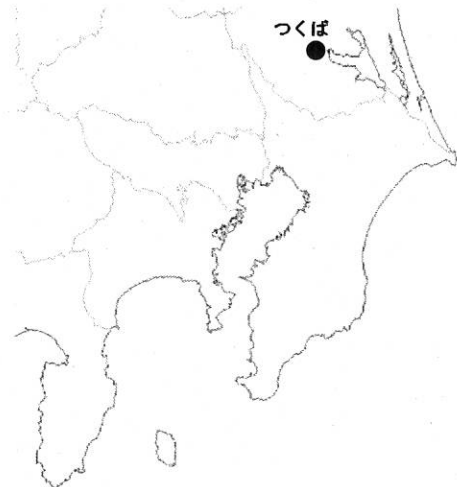
コメント：\$;保守. ?;原因不明.
 松原174号井は静岡県による観測.
 伊東1は、休日・年末年始に周囲の温泉使用量が増加するため、自噴量が減少する.
 伊東1の自噴量は、量が少なくなると配管構造のため、見かけ上、値がばらつく.



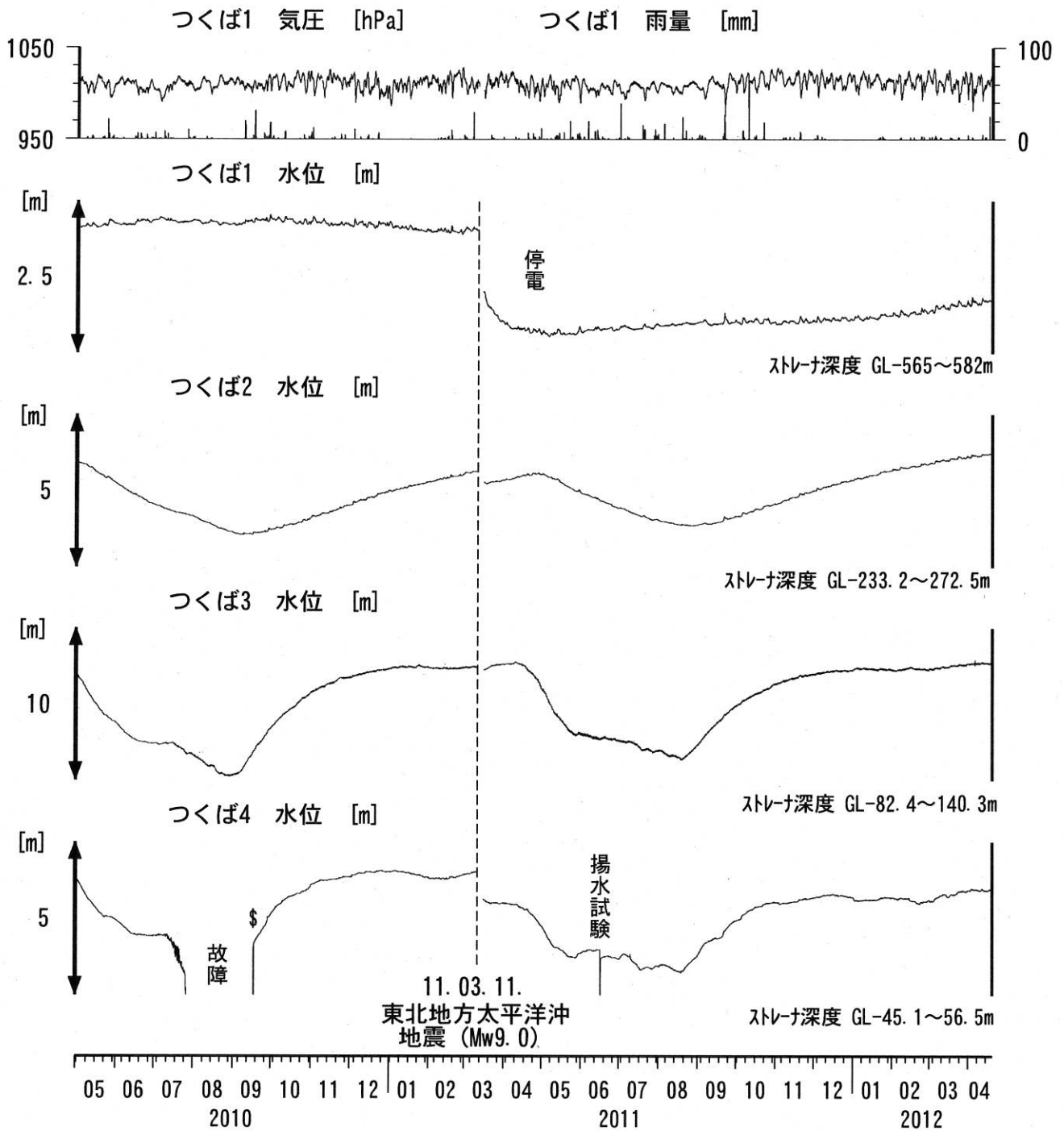
関東地域 地下水観測結果 中期 (時間値)
 (2012/02/01 00:00 - 2012/04/20 00:00)



コメント：\$;保守。
 つくば2~4の水位が、例年春~秋に低下するのは、
 周囲の揚水によると考えられる。



関東地域 地下水観測結果 長期 (時間値)
 (2010/05/01 00:00 - 2012/04/20 00:00)



コメント：\$; 保守.

つくば2~4の水位が、例年春~秋に低下するのは、
 周囲の揚水によると考えられる。

2009年12月7日~22日はつくば3, 4の井戸を
 使った実験を行っているため水位は欠測。

2010年7月中旬からつくば4の水位計が故障していたが、
 2010年9月中旬に水位計を更新した。



産業技術総合研究所(産総研)の紀伊半島～愛知県の10観測点(図1)における2012年2月1日から2012年4月18日までの歪・傾斜・地下水および気象観測結果を図2～19に示す。また、産総研がエンベロープ相関法を用いて決定した、深部低周波微動の震源時空間分布および個数を図20-21に示す。

2012年4月14日午後～16日午前にかけて、三重県中部において活発な深部低周波微動活動が観測され(図22)、同時期に産総研の歪3観測点、傾斜1観測点および防災科学技術研究所(防災科研)のHi-net高感度加速度計(傾斜)4観測点において変化が観測された(図23)。広域を対象に断層面の大きさを固定した1段階目での解析結果を図24に、この領域周辺を対象にした詳細な2段階目の解析で、残差最小の断層面を推定した結果を図25に示す。歪・傾斜を統合した解析では、微動域をより広く覆う断層面が推定された。すべり量は3mm、Mwは5.6と推定された。この領域では、116日前の2011年12月19日～20日にほぼ同じ位置でMw5.5の短期的SSEが発生したと推定されている。この領域での平均的な活動間隔は170±10日[Obara, 2010]であり、これと比較すると1ヶ月半前後早く発生したと言える。

解析方法

短期的SSEの断層面推定には、それぞれの観測点の水平歪4成分・傾斜2成分の記録を用いる。歪・傾斜ともに、観測波形からBAYTAP-G [Tamura et al., 1991]により、気圧応答成分、潮汐成分およびホワイトノイズ成分を取り除く。また、イベント直前の期間を用いて1次トレンドも取り除く。微動活動も参考にして、数時間～半日単位で活動開始・終了時期を判断し、その期間の変化量を短期的SSEによる変化量とする。その際、歪についてはMatsumoto et al. [2010]の手法で理論潮汐歪を用いてキャリブレーションを行っている。

断層面の推定は、計算時間の短縮と、推定された結果の一意性を確認するために2段階で行う。断層面は板場ほか[2011]の手法を用いた。フィリピン海プレート境界面上[弘瀬ほか、2007]に多数の断層面を仮定してグリッドサーチにより推定する。仮定した断層面上のすべり量によって各観測点で期待される歪変化の計算にはOkada [1992]のプログラムを用いる。1段階目には、断層面のサイズは固定(幅・長さ共に20km)、断層面の位置(0.1° 間隔)およびすべり量(1～100mmの間で1mm間隔)のみ可変として広範囲で計算を行う。1段階目の結果を示す図では、それぞれの断層面において最適すべり量を与えたときの、観測値と計算値(期待値)との残差分布を示している。これにより、短期的SSEが生じている可能性が高い領域を絞り込むとともに、推定された結果の一意性を確認することが出来る。2段階目には、1段階目で絞り込んだ領域(=残差が小さい領域)付近で、位置及びすべり量に加えて、断層面の長さを10～80km、幅を10～50km、それぞれ5km間隔で可変として計算を行なう。その結果、観測値との残差が最小となる断層面が1つ計算されるが、計算に使用している観測点数が少ない場合や、断層面と観測点配置の関係によっては一意性が低くなるので注意が必要である。なお、異種観測値を統合して解析するため、観測点ごとに残差をノイズレベルによって規格化している。ノイズレベルは、気圧応答、潮汐成分およびホワイトノイズ成分を取り除いた後(微動活動が活発な期間および周辺の日雨量50mmを超える時期を除く)の24時間階差の 2σ とした。

深部低周波微動の検出・震源決定には、エンベロープ相関法を用いている。

謝辞

短期的SSEの断層モデル推定には、防災科研Hi-net高感度加速度計(傾斜計)の記録を使用しました。微動の解析には、防災科研Hi-net、気象庁、東京大学、京都大学、名古屋大学、高知大学、九州大学の地震波形記録を使用しました。低周波地震の震央位置表示には、気象庁の一元化カタログを使用しました。ここに記して感謝します。

参考文献

- 弘瀬冬樹, 中島淳一, 長谷川昭 (2007), Double-Difference Tomography法による西南日本の3次元地震波速度構造およびフィリピン海プレートの形状の推定, *地震*, **60**, 1-20.
- 板場智史, 松本則夫, 北川有一, 小泉尚嗣, 木村武志, 木村尚紀, 廣瀬仁, 針生義勝 (2011), 歪・傾斜統合解析による短期的SSE断層モデルの推定, *日本地震学会*, 2011年度秋期大会, 静岡, 10月, 2011.
- Matsumoto, N., O. Kamigaichi, Y. Kitagawa, S. Itaba, and N. Koizumi (2010), In-situ Calibration of Borehole Strainmeter Using Green's Functions for Surface Point Load at a Depth of Deployment, *Eos, Trans. AGU*, Abstract G11A-0626.
- Okada, Y. (1992), Internal deformation due to shear and tensile faults in a half-space, *Bull. Seismol. Soc. Am.*, **82**, 1018-1040.
- Obara, K. (2010), Phenomenology of deep slow earthquake family in southwest Japan: Spatiotemporal characteristics and segmentation, *J. Geophys. Res.*, **115**, doi:10.1029/2008JB006048.
- Tamura, Y., T. Sato, M. Ooe and M. Ishiguro (1991), A procedure for tidal analysis with a Bayesian information criterion, *Geophys. J. Int.*, **104**, 507-516.

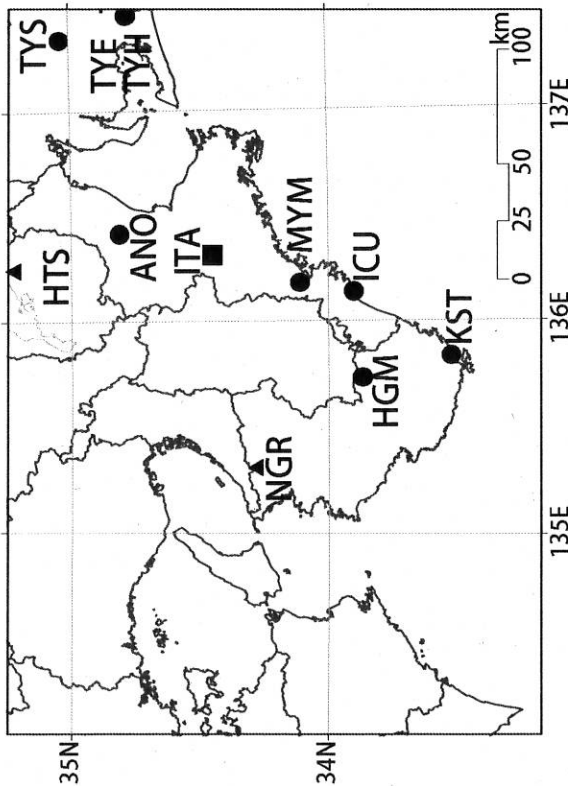
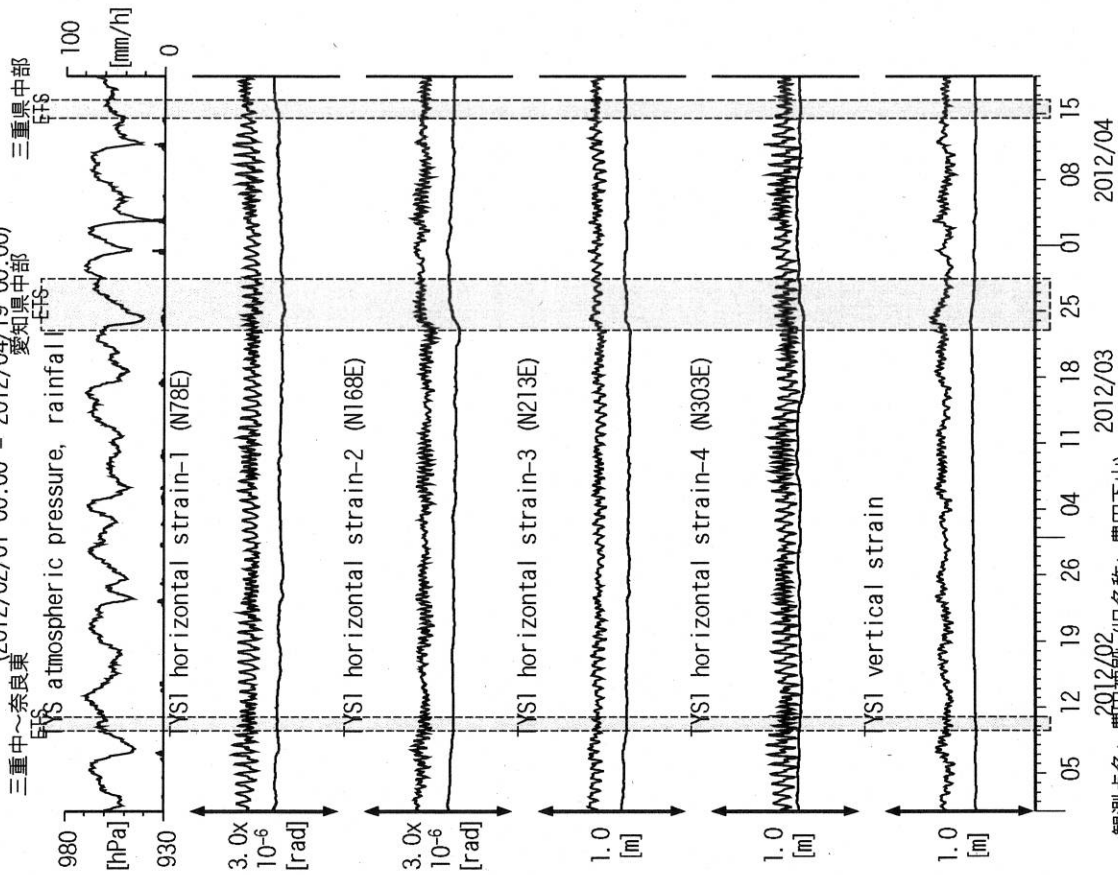


図1: 紀伊半島～愛知県における地下水等総合観測施設の分布図(●・■・▲)。●はデジタル方式の石井式歪計・傾斜計を併設している観測点、■は Gladwin 式歪計・ミットロ方式傾斜計を併設している観測点、▲はアナログ方式の石井式歪計を併設している観測点を示す。

表1: 産総研観測点の新名称。平成23年1月17日から「市町村名」+「町・字名等」を基本とする名称に変更している。なお、3文字コードは変更していない。

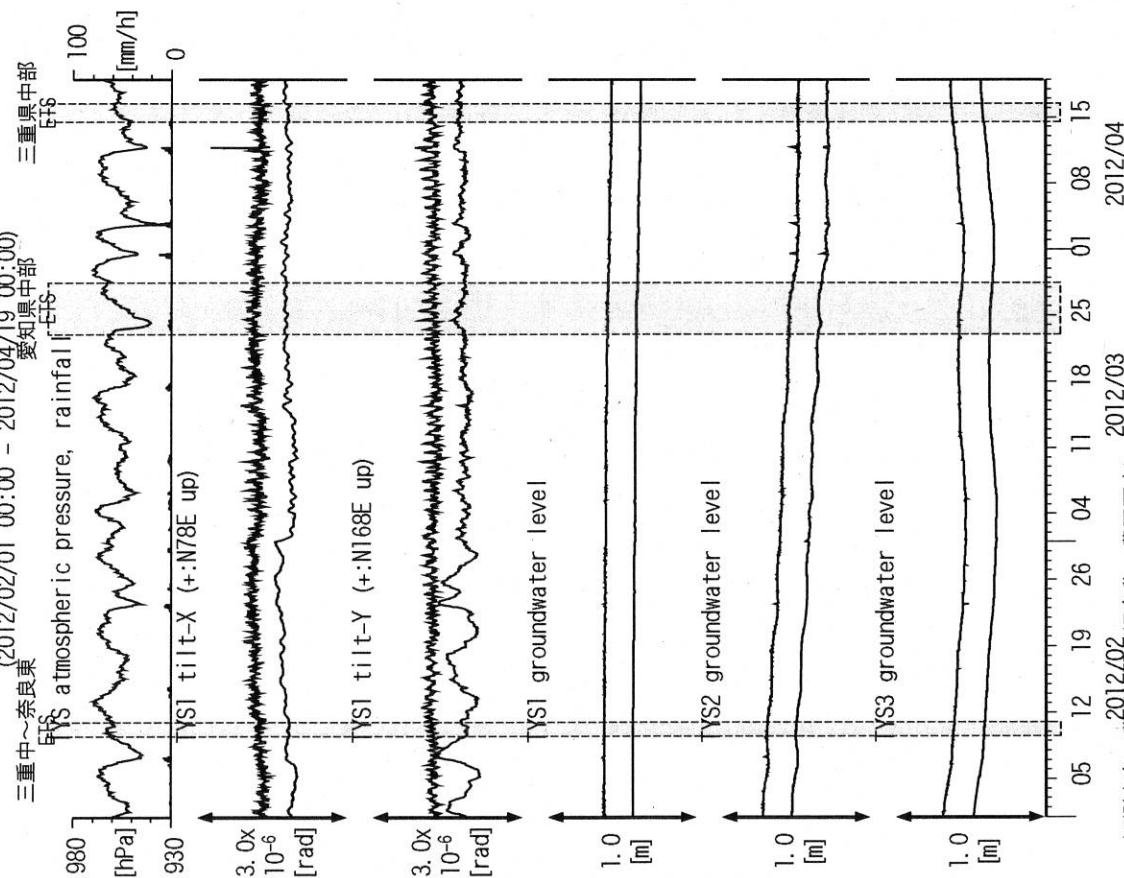
| 3文字コード (変更無し) | 旧名称 | 新名称 | 新名称ふりがな | 市区町村 | 図 |
|------------------|------|-------|------------|-------------|-------|
| TYS | 豊田下山 | 豊田神殿 | とよたかんのどの | 愛知県豊田市 | 2,3 |
| TYE | 豊橋東 | 豊橋多米 | とよはしため | 愛知県豊橋市 | 4,5 |
| HTS | 桑荘 | 桑荘香之庄 | あいしよこうのしょう | 滋賀県愛知郡愛荘町 | 6 |
| ANO | 安濃 | 津安濃 | つあのう | 三重県津市 | 7,8 |
| ITA | 飯高赤桶 | 松阪飯高 | まつさかいいたか | 三重県松阪市 | 9,10 |
| MYM | 海山 | 紀北海山 | きほくみやま | 三重県北牟婁郡紀北町 | 11,12 |
| ICU | 井内浦 | 熊野磯崎 | くまのいそざき | 三重県熊野市 | 13,14 |
| HGM | 本宮三越 | 田辺本宮 | たなべほんぐう | 和歌山県田辺市 | 15,16 |
| KST | 串本津荷 | 変更無し | くしもとつが | 和歌山県東牟婁郡串本町 | 17,18 |
| NGR | 根来 | 岩出東坂本 | いわでひがしざかもと | 和歌山県岩出市 | 19 |

図2: Crustal strains changes at TYS (時間値)
(2012/02/01 00:00 - 2012/04/19 00:00)
三重中～奈良東
三重県中部
愛知県中部
三重県中部



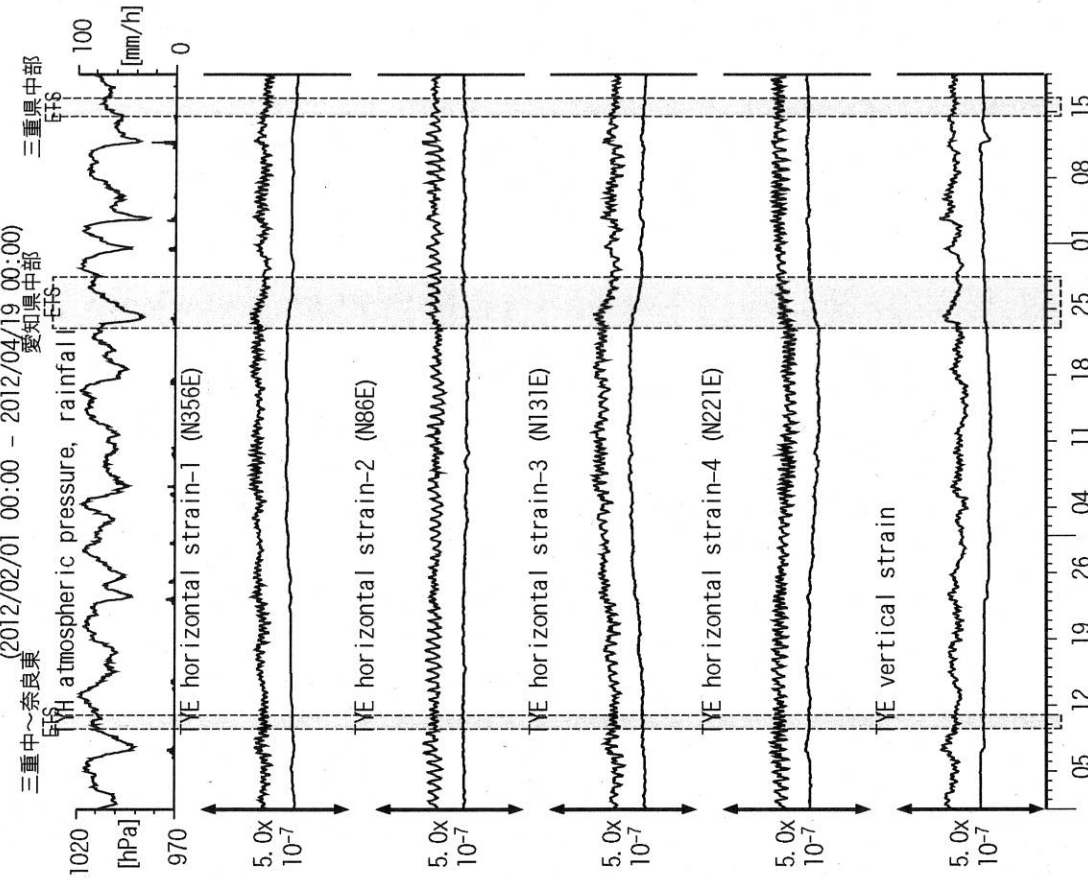
観測点名: 豊田神殿 (旧名称: 豊田下山)
Strainmeter depth = 586.7-588.1 [G-m]
上: 1次トレンドを除去
下: BAYTAP-Gcにより潮汐・気圧応答・ノイズ成分を除去後、1次トレンドも除去

図3: Tilt and groundwater level changes at TYS (時間値)
(2012/02/01 00:00 - 2012/04/19 00:00)



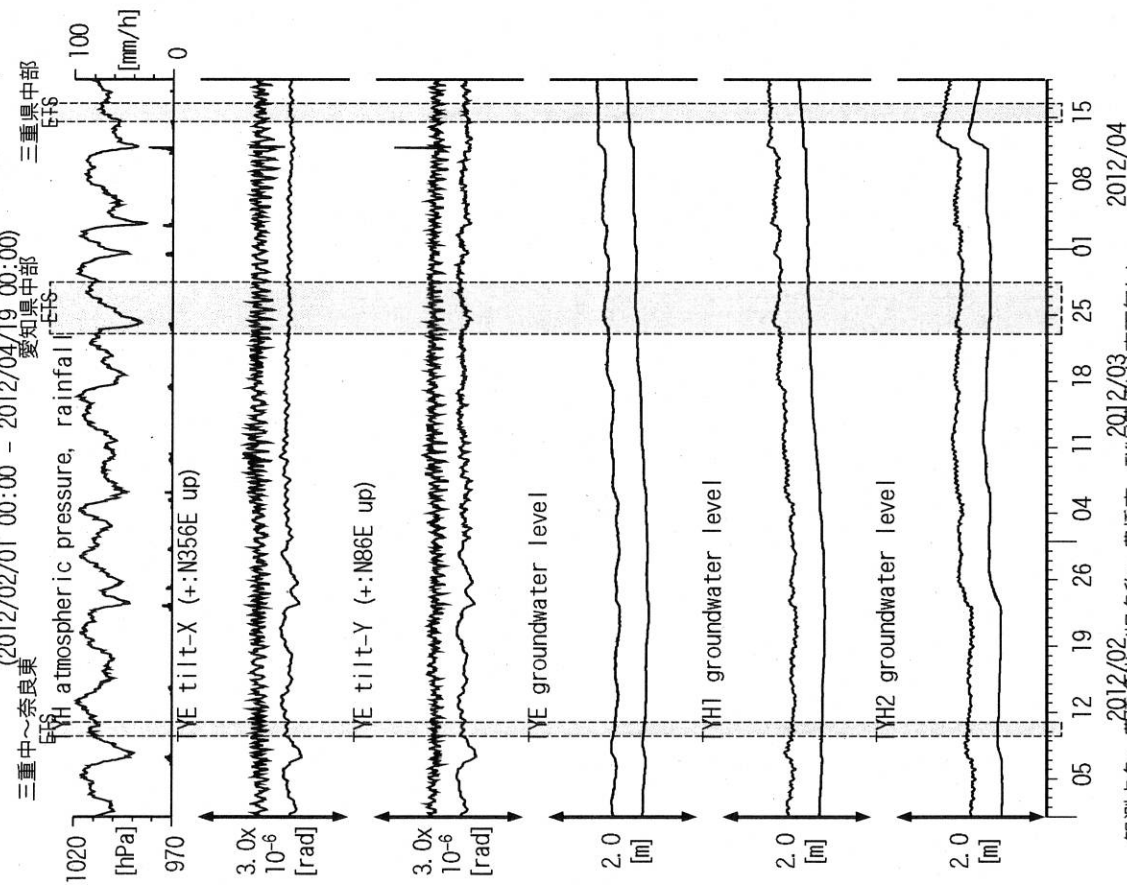
観測点名: 豊田神殿 (旧名称: 豊田下山)
Tiltmeter depth = 585.9-586.7 [GL-m]
TYS1 : Screen depth = 404.8-426.7 [GL-m]
TYS2 : Screen depth = 148.8-154.3 [GL-m]
TYS3 : Screen depth = 26.8-32.3 [GL-m]
上: tiltは1次トレンド除去
下: BAYTAP-Gにより潮汐・気圧応答成分除去、tiltは1次トレンドも除去

図4: Crustal strain changes at TYE (時間値)
(2012/02/01 00:00 - 2012/04/19 00:00)



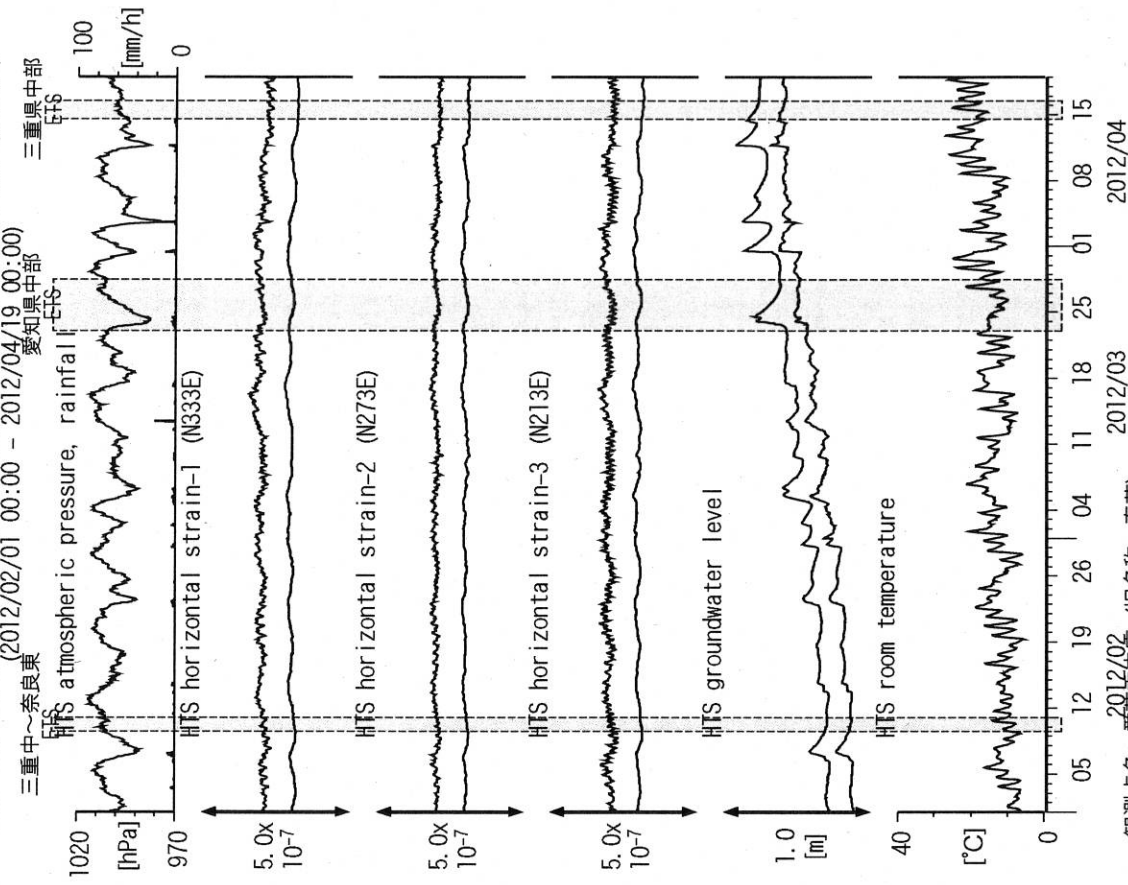
観測点名: 豊橋多米 (旧名称: 豊橋東, TYH(豊橋)は変更無し)
Strainmeter depth = 266.5-267.9 [GL-m]
上: 1次トレンドを除去
下: BAYTAP-Gにより潮汐・気圧応答・ノイズ成分を除去後、1次トレンドも除去

図5: Tilt and groundwater level changes at TYE and TYH (時間値)
(2012/02/01 00:00 - 2012/04/19 00:00)



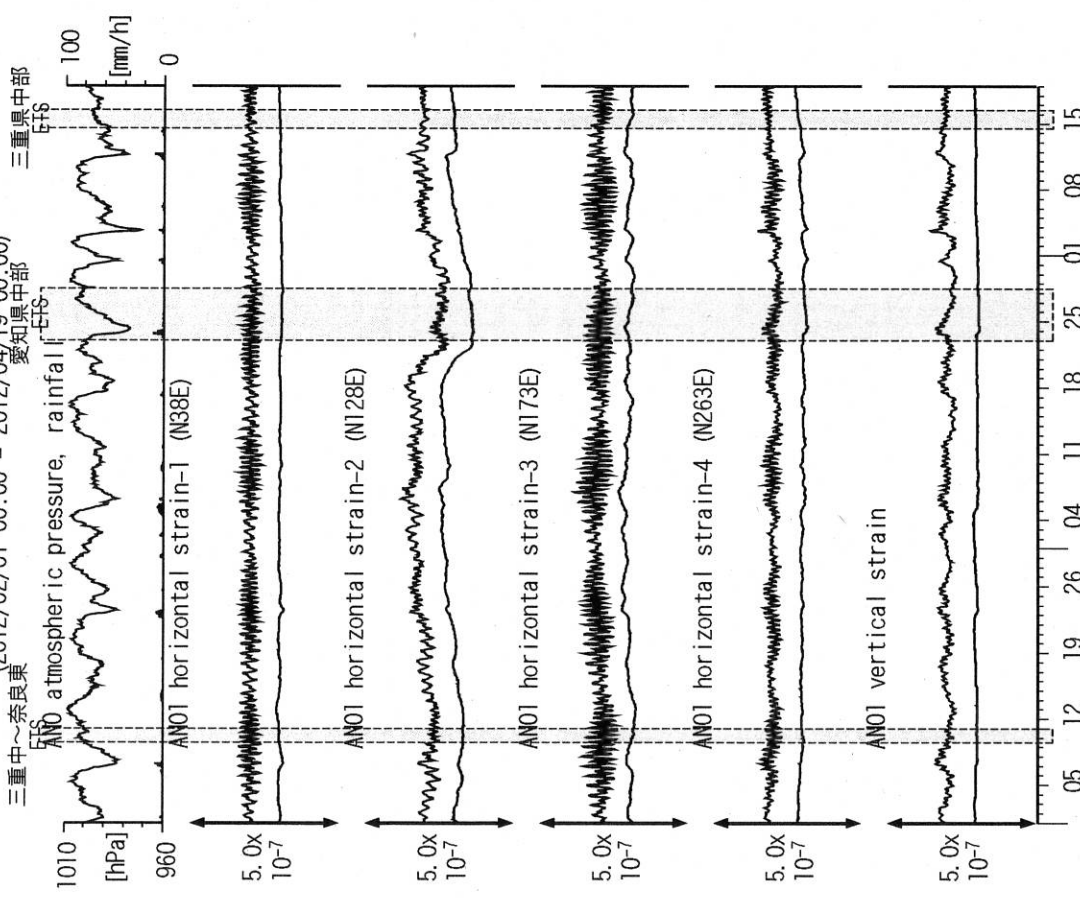
観測点名: 豊橋多米 (旧名称: 豊橋東, TYH(豊橋)は変更無し)
Tiltmeter depth = 265.6-266.5 [GL-m]
TYE : Screen depth = 185.9-207.8 [GL-m]
TYH1 : Screen depth = 178.6-200.4 [GL-m]
TYH2 : Screen depth = 133.7-150.0 [GL-m]
上: tiltは1次トレンドを除去
下: BAYTAP-Gにより潮汐・気圧応答・ノイズ成分を除去、tiltは1次トレンドも除去

図6: Crustal strain and groundwater level changes at HTS (時間値)
(2012/02/01 00:00 - 2012/04/19 00:00)



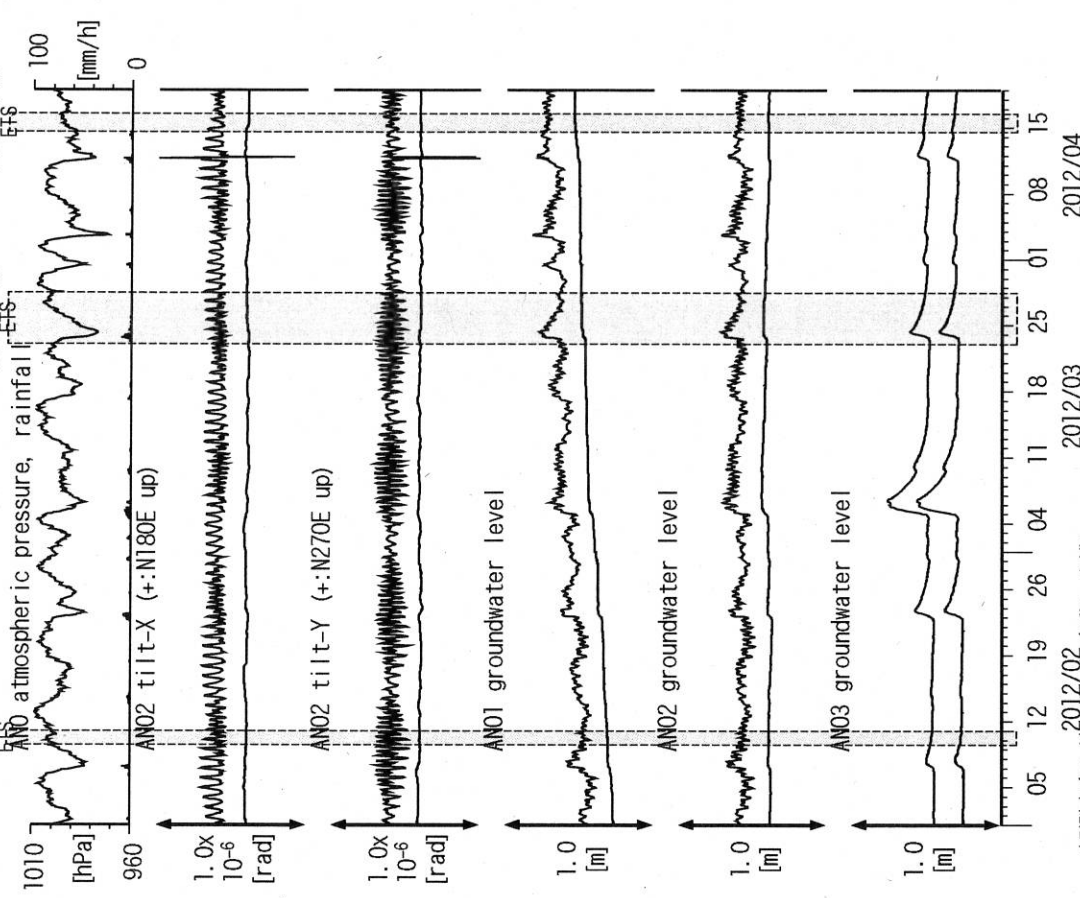
観測点名: 愛宕音之庄 (旧名称: 秦荘)
Strainmeter depth = 433.5-436.5 [GL-m]
Screen depth = 338.3-360.1 [GL-m]
上: strainは1次トレンドを除去
下: BAYTAP-Gにより潮汐・気圧応答・ノイズ成分を除去、strainは1次トレンドも除去

図7: Crustal strains changes at ANO (時間値)
(2012/02/01 00:00 - 2012/04/19 00:00)
三重中～奈良東



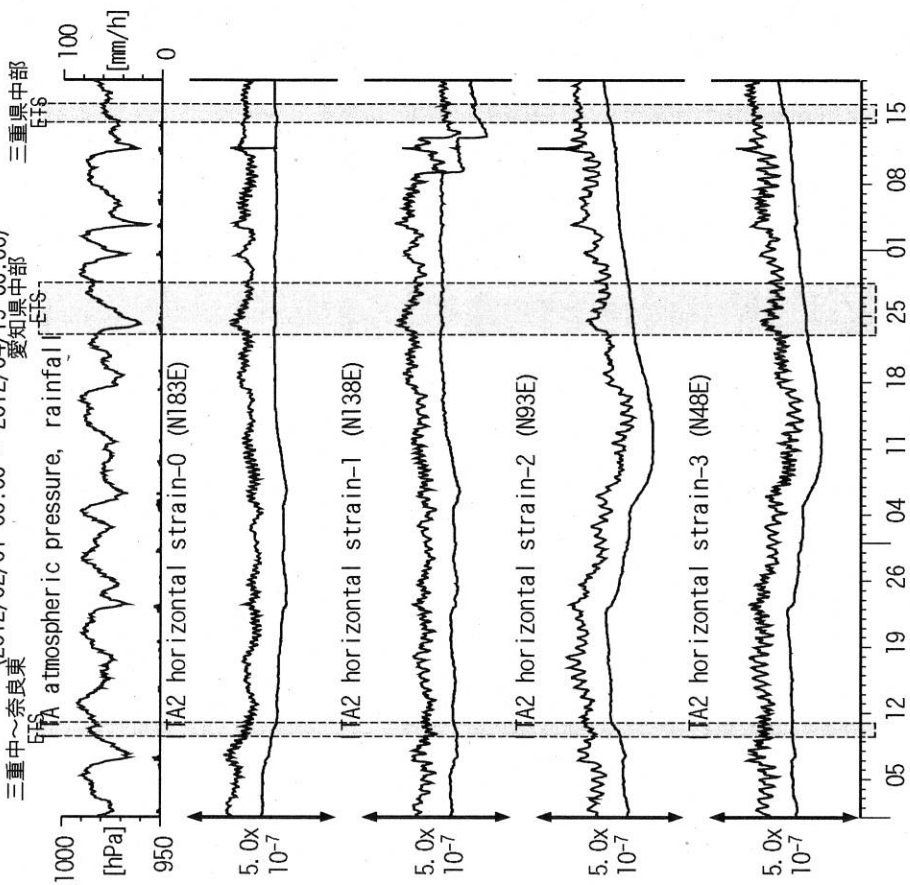
観測点名: 津安濃 (旧名称: 安濃)
Strainmeter depth = 588.9-590.3 [GL-m]
上: 1次トレンドを除去
下: BAYTAP-Gにより潮汐・気圧応答・ノイズ成分を除去後、1次トレンドも除去

図8: Tilt and groundwater level changes at ANO (時間値)
(2012/02/01 00:00 - 2012/04/19 00:00)
三重中～奈良東



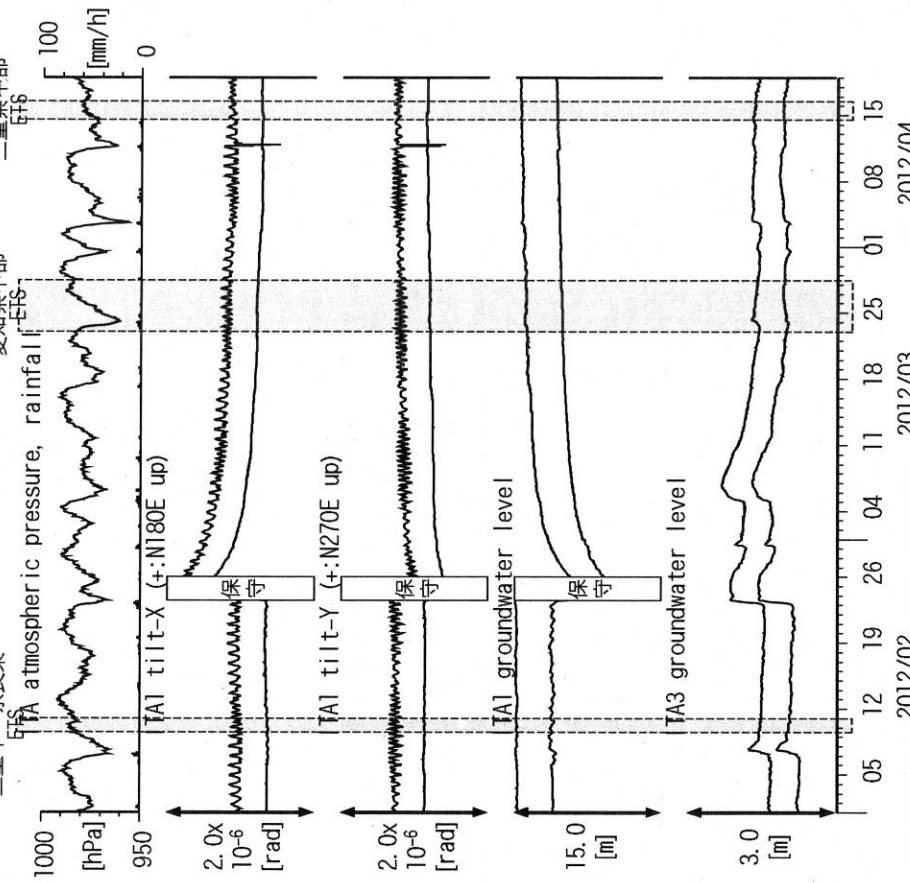
観測点名: 津安濃 (旧名称: 安濃)
Tiltmeter depth = 236.6-237.3 [GL-m]
ANO1 : Screen depth = 502.7-513.6 [GL-m]
ANO2 : Screen depth = 197.5-208.5 [GL-m]
ANO3 : Screen depth = 12.0-22.9 [GL-m]
上: tiltは1次トレンド除去
下: BAYTAP-Gにより潮汐・気圧応答・ノイズ成分除去、tiltは1次トレンドも除去

図9: Crustal strain changes at ITA (時間値)
(2012/02/01 00:00 - 2012/04/19 00:00)
三重中～奈良東
愛知県中部



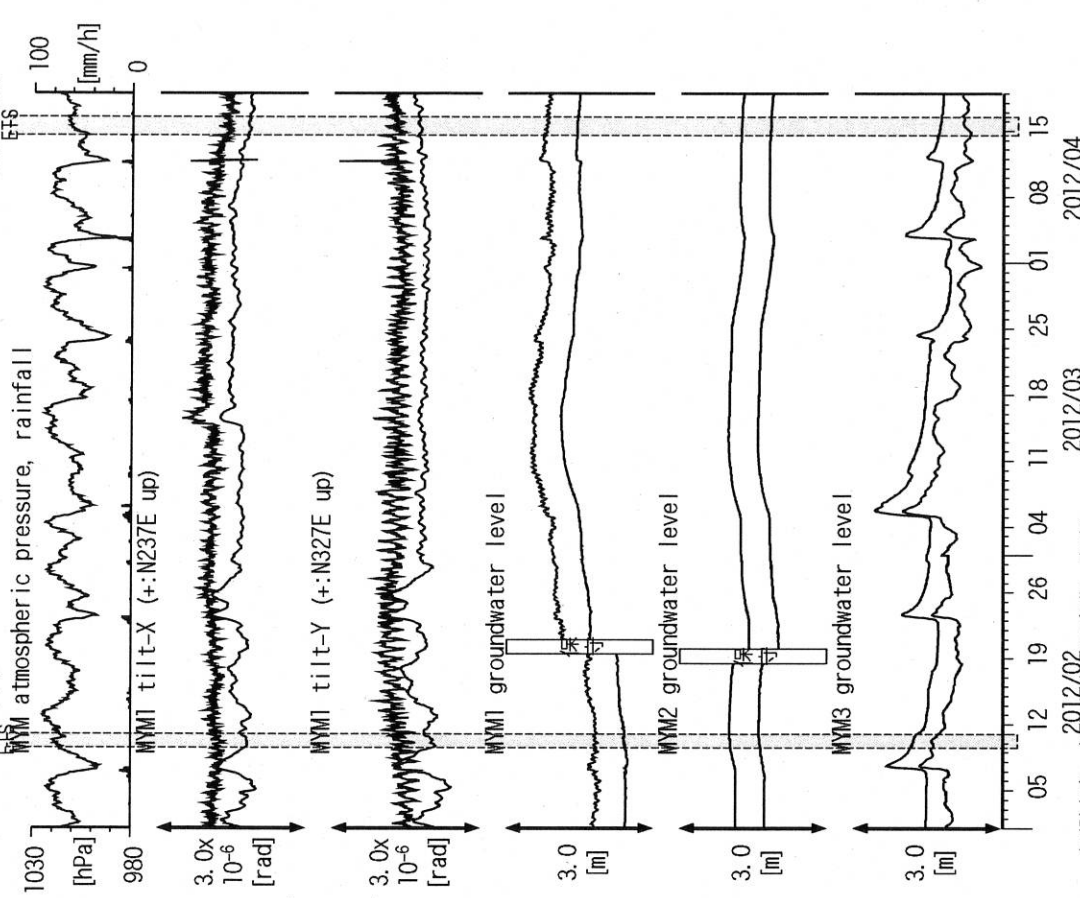
観測点名: 松阪飯高 (旧名称: 飯高赤桶)
Strainmeter depth = 181.3-183.6 [GL-m]
上: 1次トレンド除去
下: BAYTAP-Gにより潮汐・気圧応答・ノイズ成分除去後に1次トレンド除去

図10: Tilt and groundwater level changes at ITA (時間値)
(2012/02/01 00:00 - 2012/04/19 00:00)
三重中～奈良東
愛知県中部



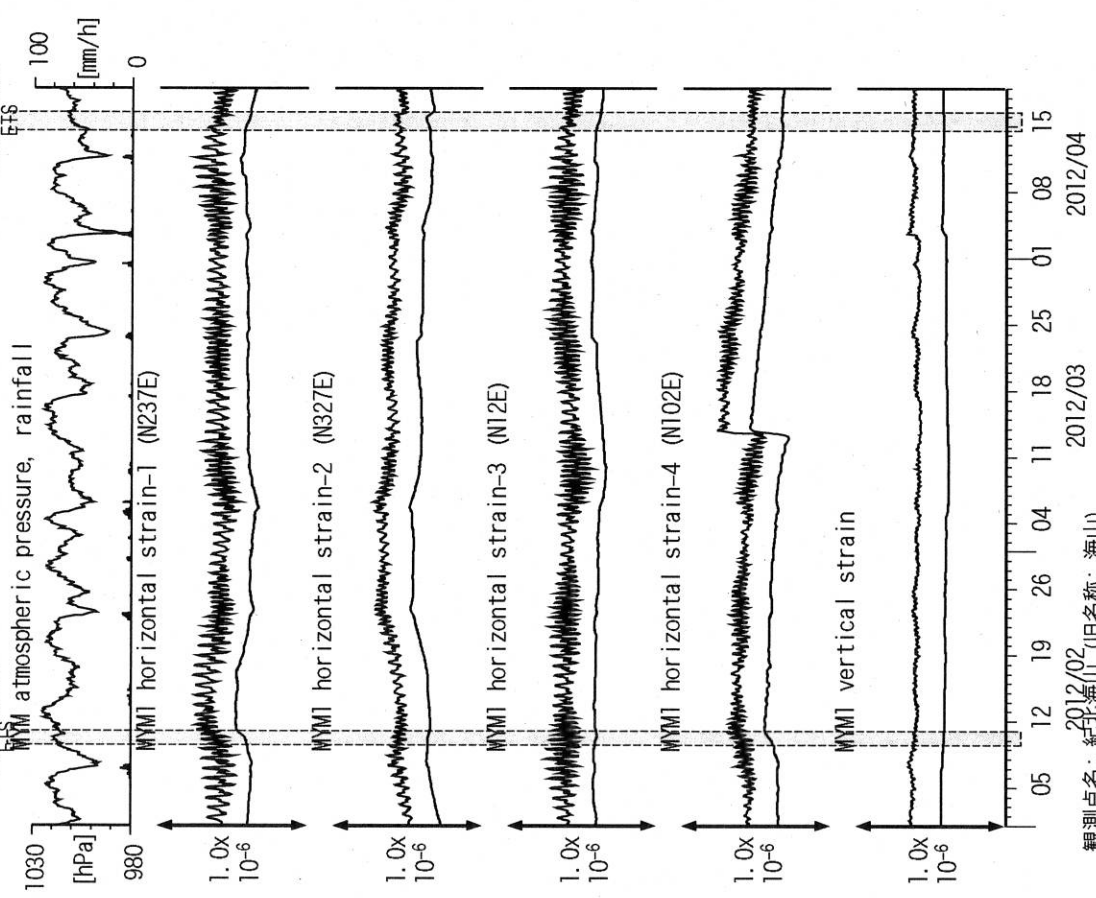
観測点名: 松阪飯高 (旧名称: 飯高赤桶)
Tiltmeter depth = 596.7-597.3 [GL-m]
ITA1: Screen depth = 547.6-558.5 [GL-m]
ITA3: Screen depth = 10.8-16.3 [GL-m]
上: tiltは1次トレンド除去
下: BAYTAP-Gにより潮汐・気圧応答・ノイズ成分除去、tiltは1次トレンドも除去

図12: Tilt and groundwater level changes at MYM (時間値)
(2012/02/01 00:00 - 2012/04/19 00:00)
三重中～奈良東



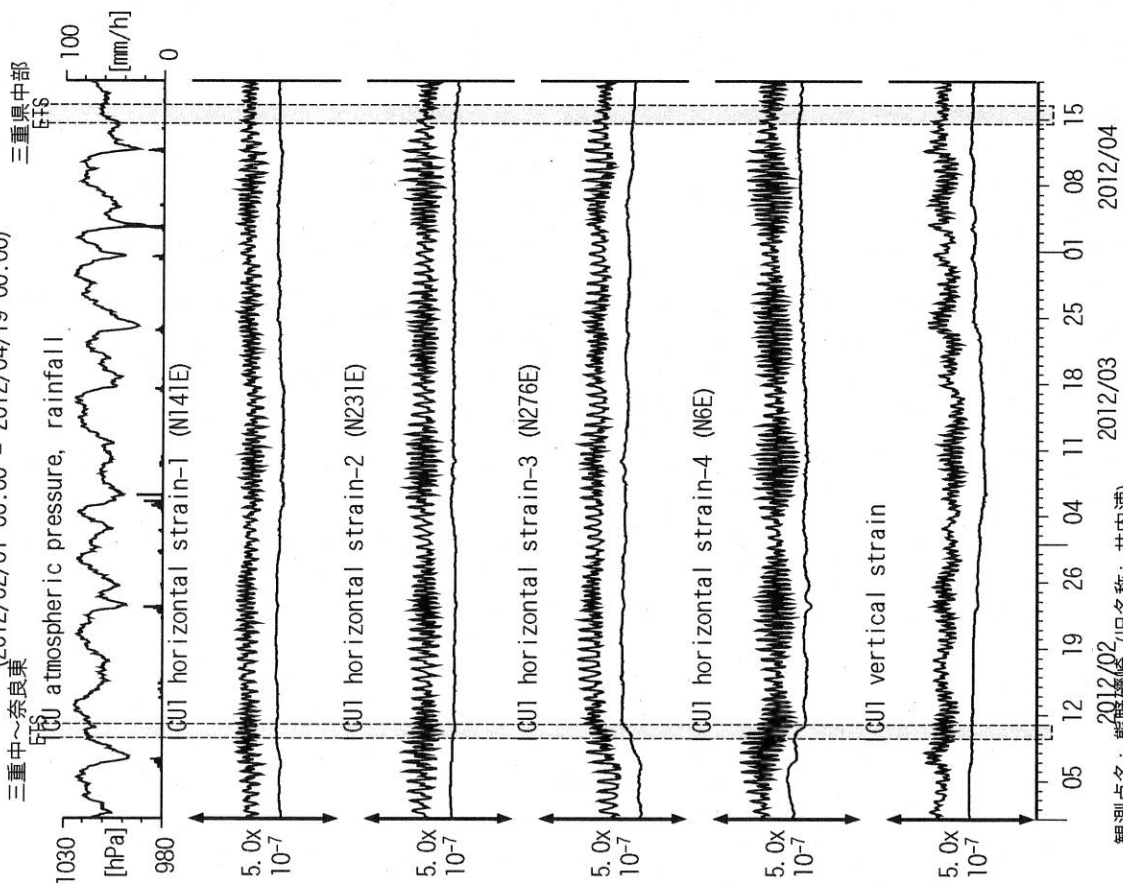
観測点名: 紀北海山 (旧名称: 海山)
Tiltmeter depth = 589.2-590.0 [GL-m]
MYM1 : Screen depth = 418.9-429.8 [GL-m]
MYM2 : Screen depth = 140.3-151.1 [GL-m]
MYM3 : Screen depth = 19.9-25.3 [GL-m]
上: tiltは1次トレンド除去
下: BAYTAP-Gにより潮汐・気圧応答・ノイズ成分除去、tiltは1次トレンドも除去

図11: Crustal strain changes at MYM (時間値)
(2012/02/01 00:00 - 2012/04/19 00:00)
三重中～奈良東



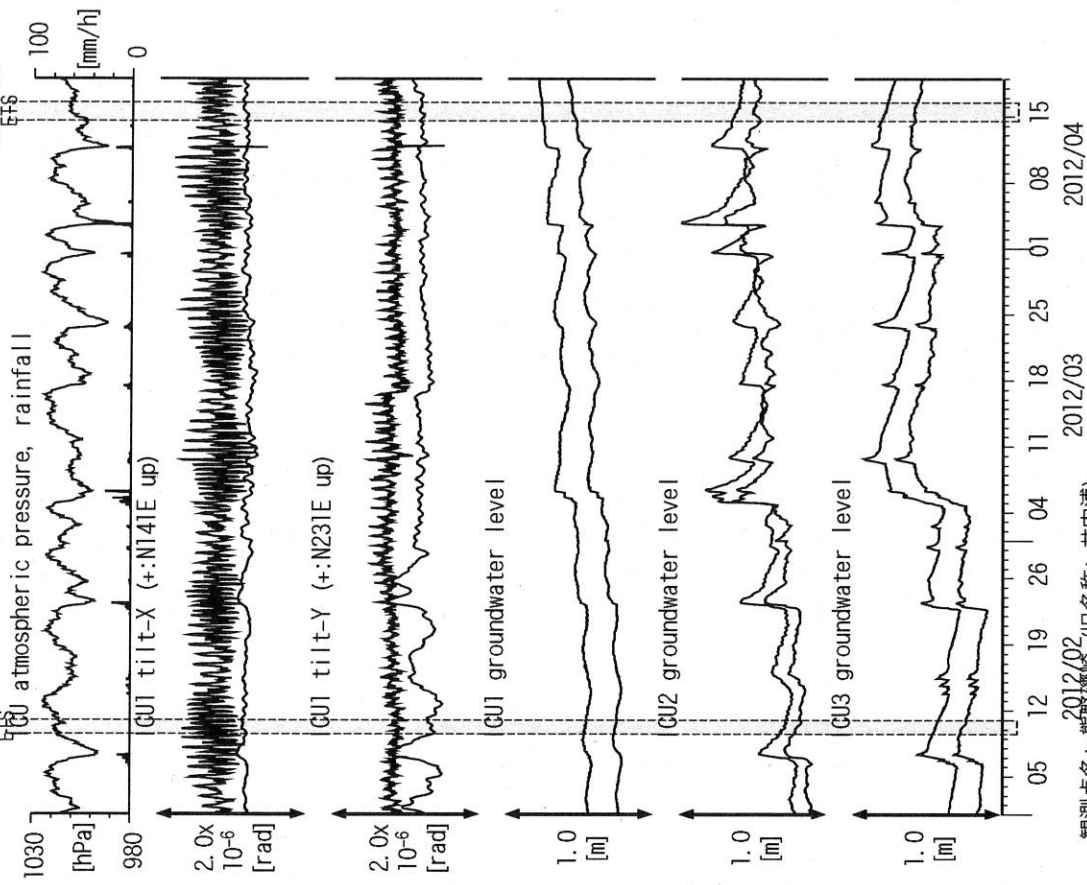
観測点名: 紀北海山 (旧名称: 海山)
Strainmeter depth = 590.0-591.4 [GL-m]
上: 1次トレンド除去
下: BAYTAP-Gにより潮汐・気圧応答・ノイズ成分除去後に1次トレンド除去

図13: Crustal strain changes at ICU (時間値)
(2012/02/01 00:00 - 2012/04/19 00:00)
三重中～奈良東



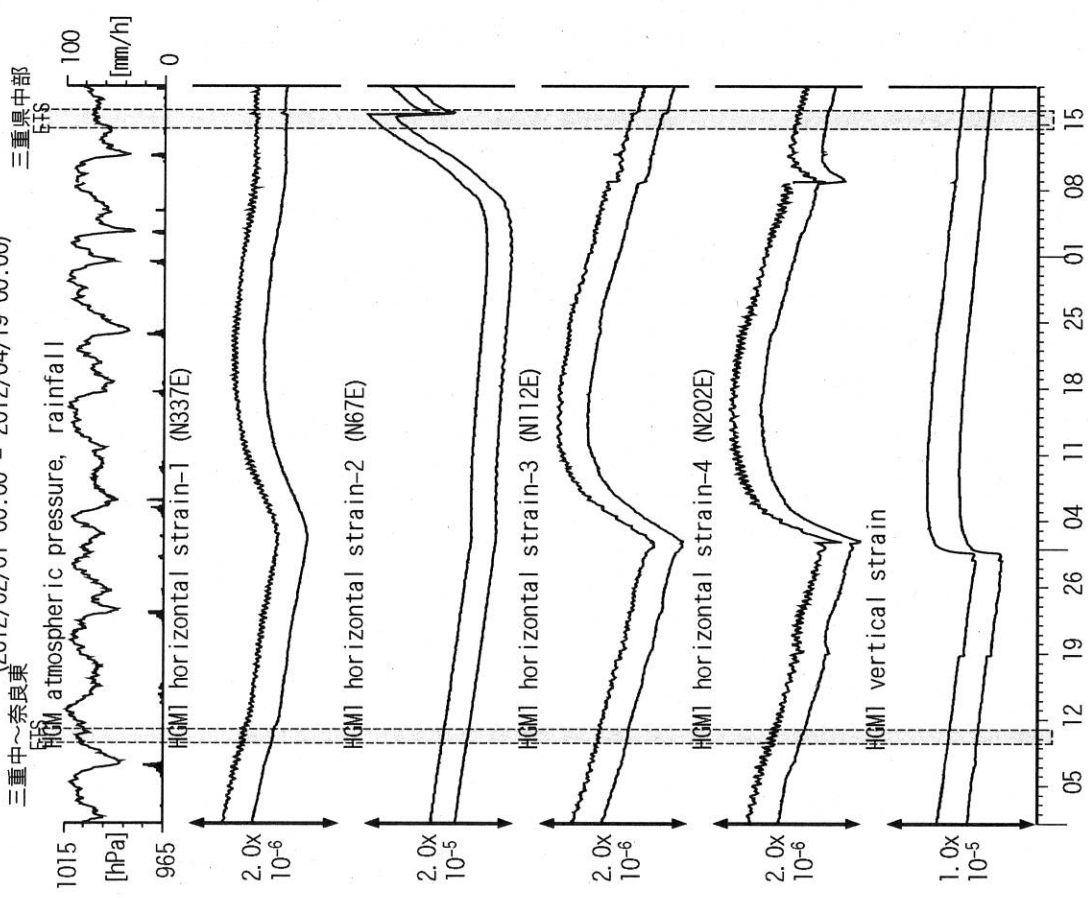
観測点名: 熊野磯崎 (旧名称: 井内浦)
2012/02
Strainmeter depth = 588.5-589.9 [GL-m]
上: 1次トレンド除去
下: BAYTAP-Gにより潮汐・気圧応答・ノイズ成分除去後に1次トレンド除去

図14: Tilt and groundwater level changes at ICU (時間値)
(2012/02/01 00:00 - 2012/04/19 00:00)
三重中～奈良東



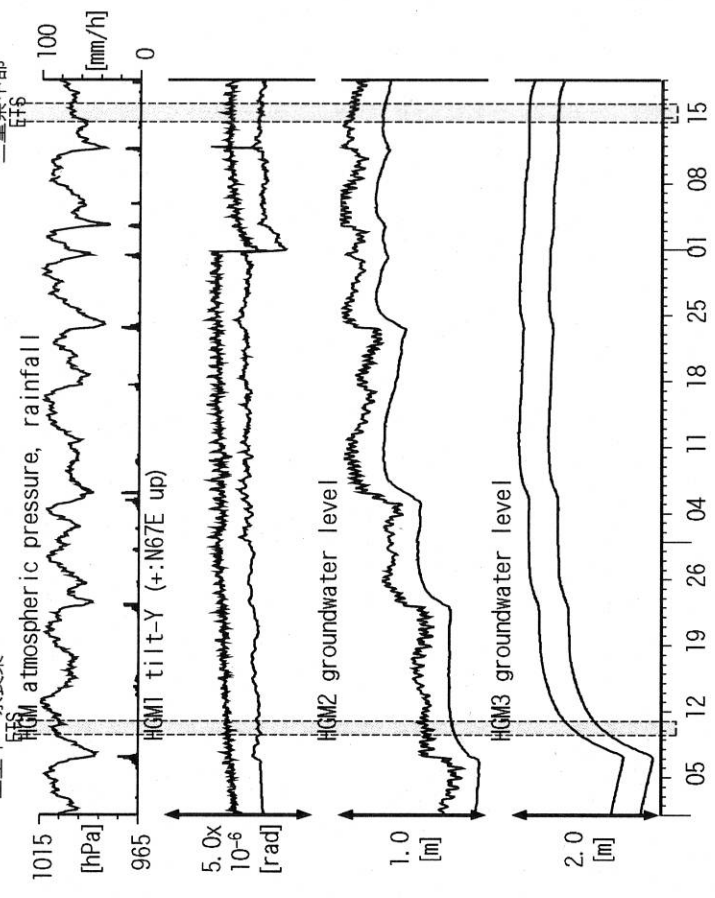
観測点名: 熊野磯崎 (旧名称: 井内浦)
2012/02
Tiltmeter depth = 587.7-588.5 [GL-m]
ICU1 : Screen depth = 522.5-533.4 [GL-m]
ICU2 : Screen depth = 95.7-106.6 [GL-m]
ICU3 : Screen depth = 13.4-18.8 [GL-m]
上: tiltは1次トレンド除去
下: BAYTAP-Gにより潮汐・気圧応答・ノイズ成分除去、tiltは1次トレンドも除去

図15: Crustal strains changes at HGM (時間値)
(2012/02/01 00:00 - 2012/04/19 00:00)
三重中～奈良東



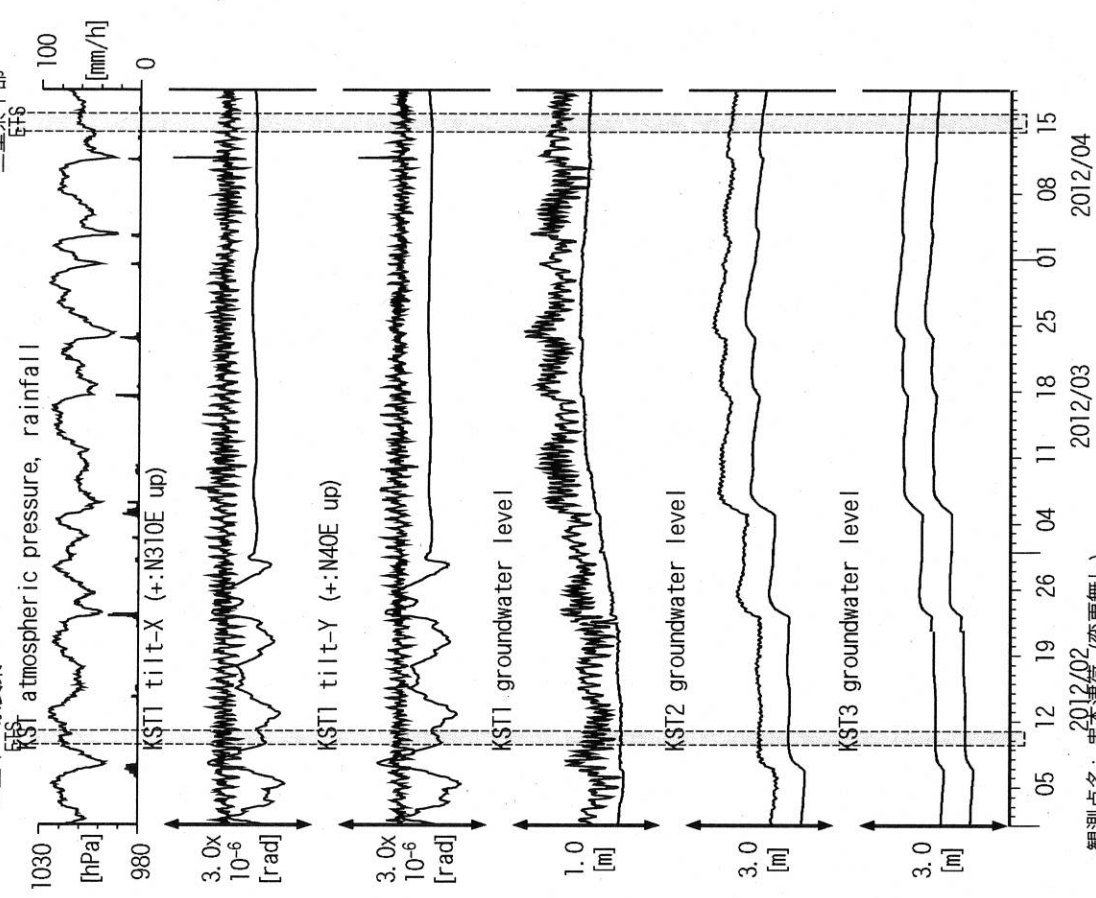
観測点名: 田辺本宮 (旧名称: 本宮三越)
Strainmeter depth = 372.7-374.1 [GL-m]
上: 1次トレンド除去
下: BAYTAP-Gにより潮汐・気圧応答・ノイズ成分除去後に1次トレンド除去

図16: Tilt and groundwater level changes at HGM (時間値)
(2012/02/01 00:00 - 2012/04/19 00:00)
三重中～奈良東



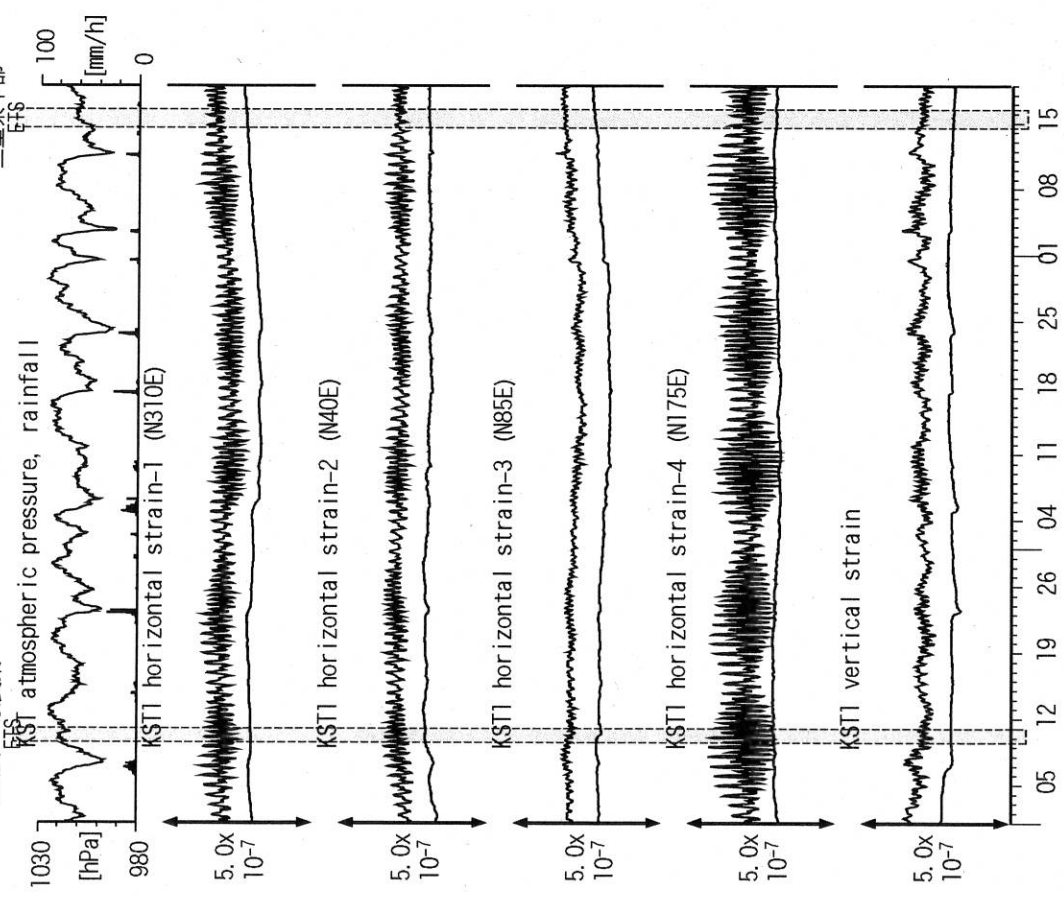
観測点名: 田辺本宮 (旧名称: 本宮三越)
Tiltmeter depth = 371.9-372.7 [GL-m]
HGM2 : Screen depth = 180.9-191.8 [GL-m]
HGM3 : Screen depth = 24.3-29.8 [GL-m]
上: tiltは1次トレンド除去
下: BAYTAP-Gにより潮汐・気圧応答・ノイズ成分除去、tiltは1次トレンドも除去
tilt-Xは振り切れにより欠測

図18: Tilt and groundwater level changes at KST (時間値)
(2012/02/01 00:00 - 2012/04/19 00:00)
三重中～奈良東



観測点名: 串本津荷 (変更無し)
Tiltmeter depth = 589.0-589.8 [GL-m]
KST1 : Screen depth = 509.2-520.2 [GL-m]
KST2 : Screen depth = 132.9-143.9 [GL-m]
KST3 : Screen depth = 20.4-30.6 [GL-m]
上: tiltは1次トレンド除去
下: BAYTAP-Gにより潮汐・気圧応答・ノイズ成分除去、tiltは1次トレンドも除去

図17: Crustal strain changes at KST (時間値)
(2012/02/01 00:00 - 2012/04/19 00:00)
三重中～奈良東



観測点名: 串本津荷 (変更無し)
Strainmeter depth = 589.8-591.2 [GL-m]
上: 1次トレンド除去
下: BAYTAP-Gにより潮汐・気圧応答・ノイズ成分除去後に1次トレンド除去

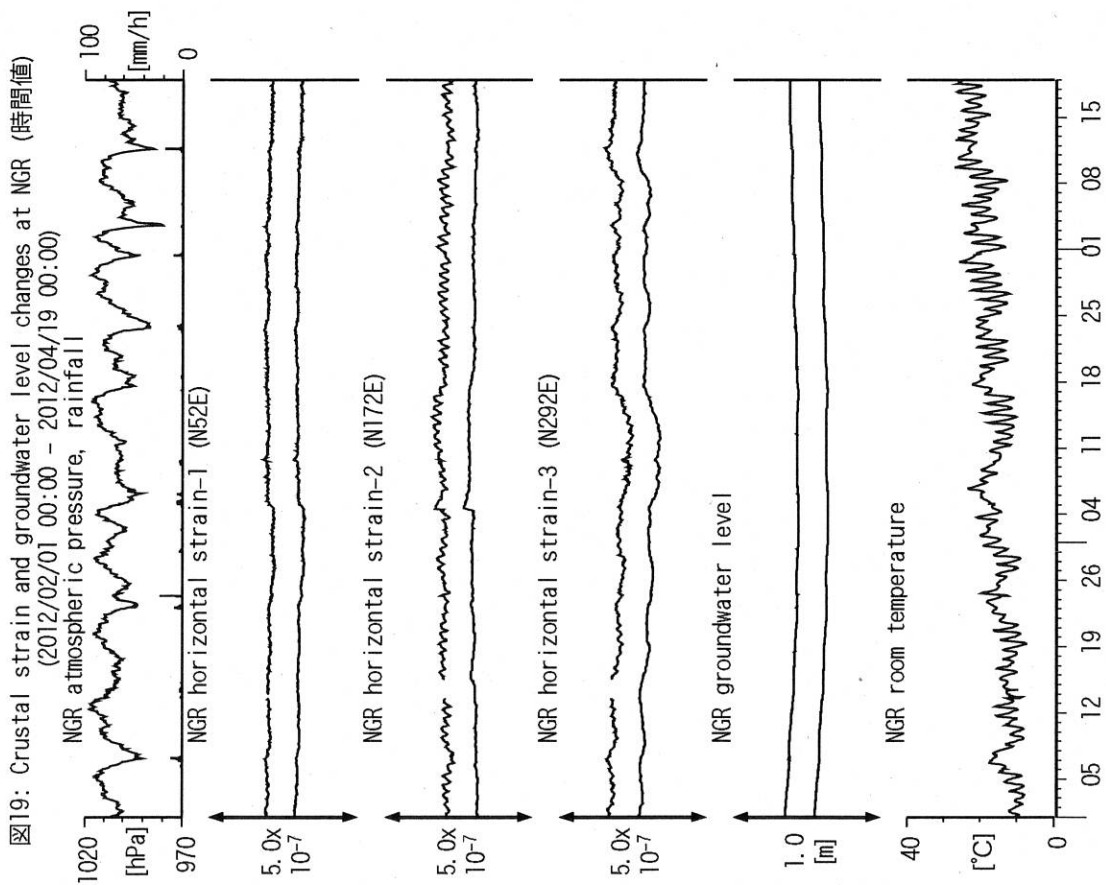
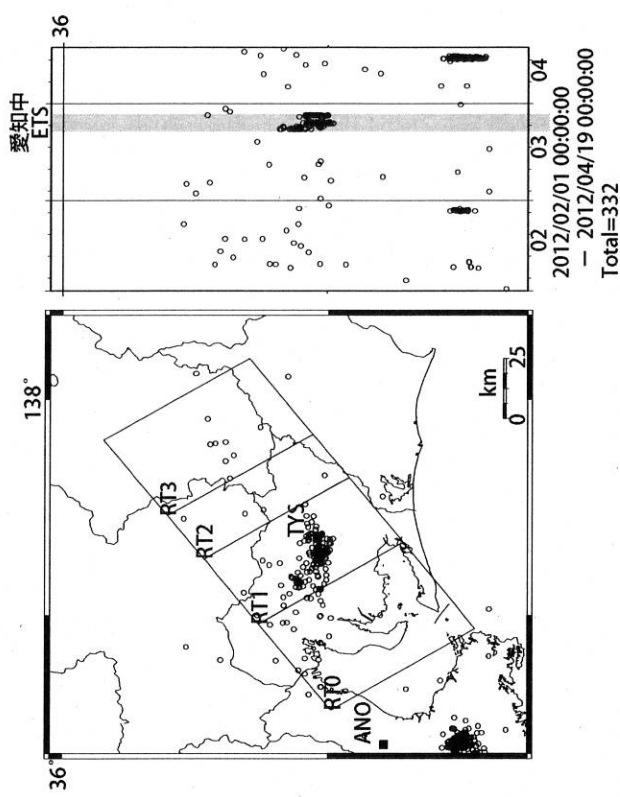


図19: Crustal strain and groundwater level changes at NGR (時間値)
(2012/02/01 00:00 - 2012/04/19 00:00)

観測点名: 岩田美坂本 (旧名称: 根来)
 Strainmeter depth = 616 [GL-m]
 Screen depth = 408.9-446.5 [GL-m]
 上: strainは1次トレンドを除去
 下: BAYTAP-Gにより潮汐・気圧応答・ノイズ成分を除去、strainは1次トレンドも除去



Deep low-frequency tremors in Tokai (日値)
(2012/02/01 00:00 - 2012/04/19 00:00)
愛知県中部
Total=332

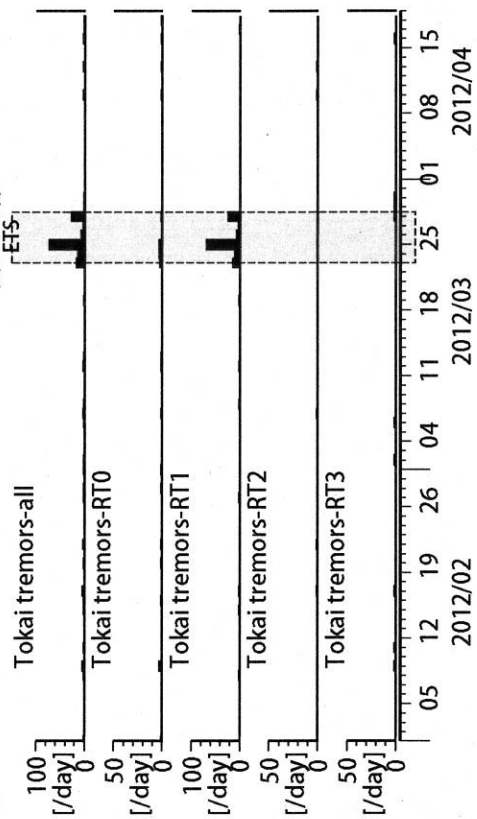
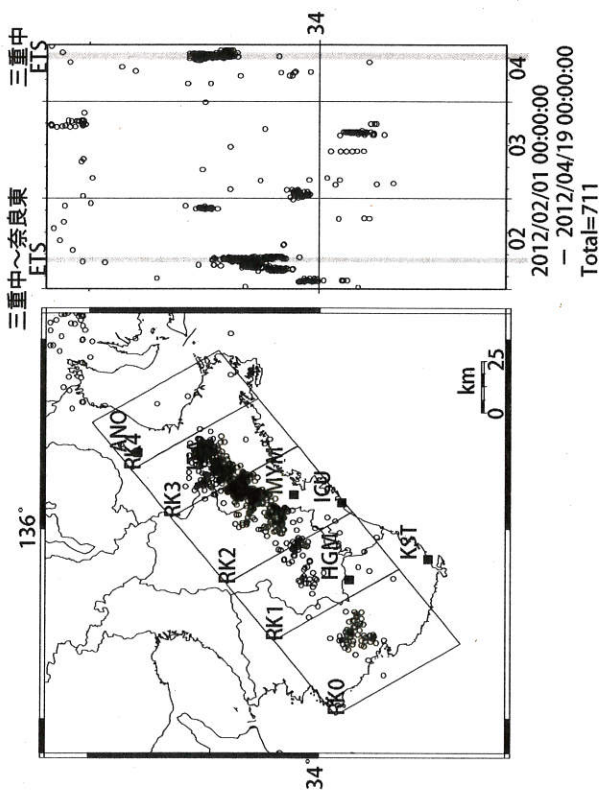


図20: 愛知県およびその周辺における深部低周波微動の時空間分布(上段)、各領域における発生頻度(日値)。



Deep low-frequency tremor activities in Kii Peninsula (日値)
(2012/02/01 00:00:00 - 2012/04/19 00:00:00)

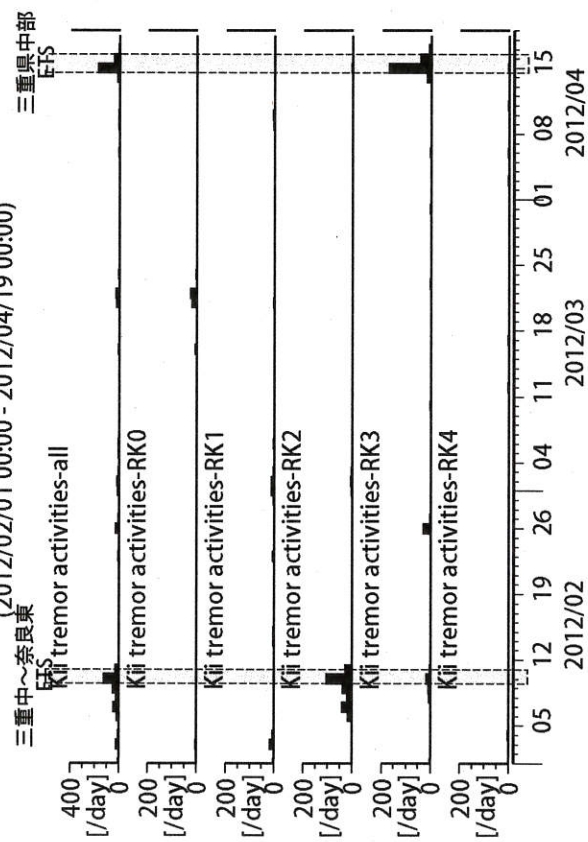


図 21: 紀伊半島～における深部低周波微動の時空間分布 (上段)、各領域における発生頻度 (日値)。

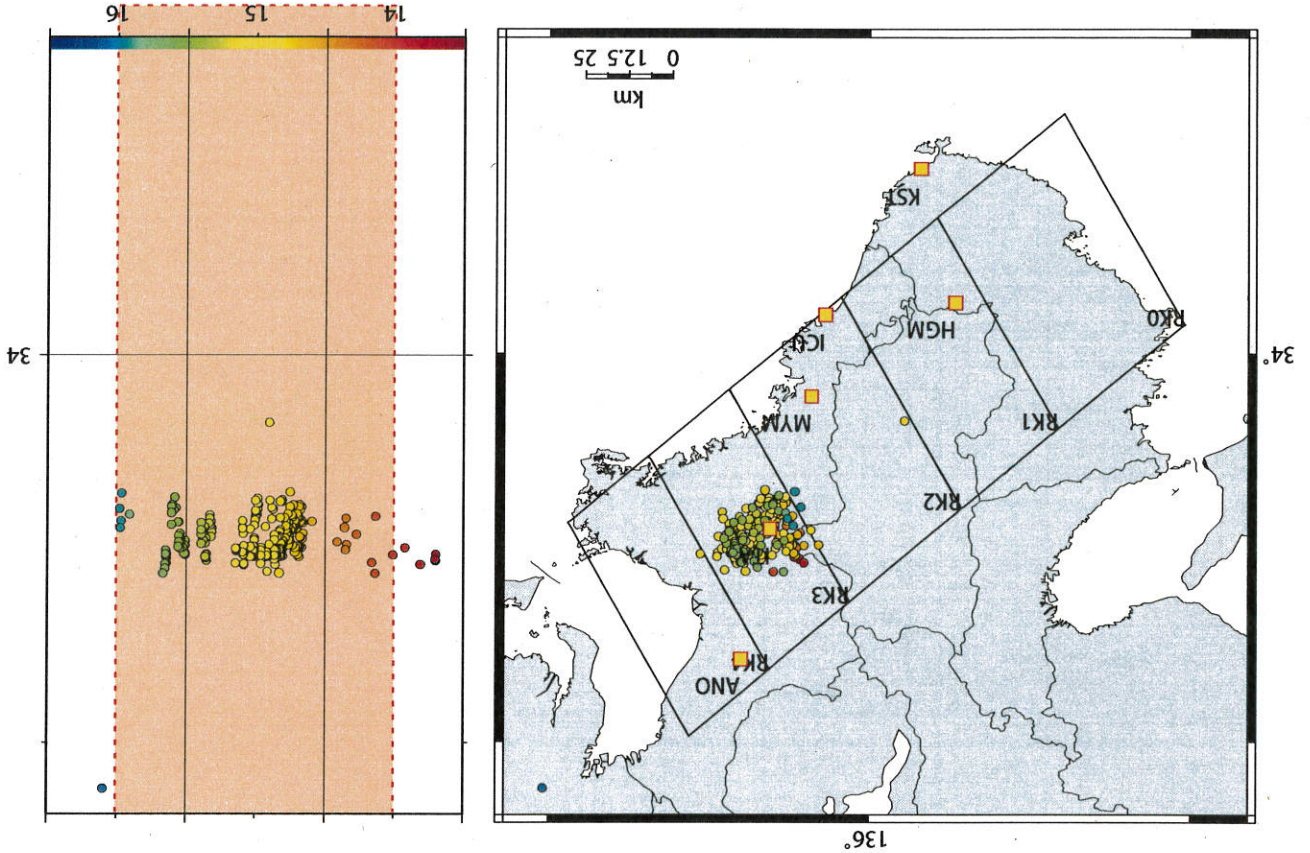
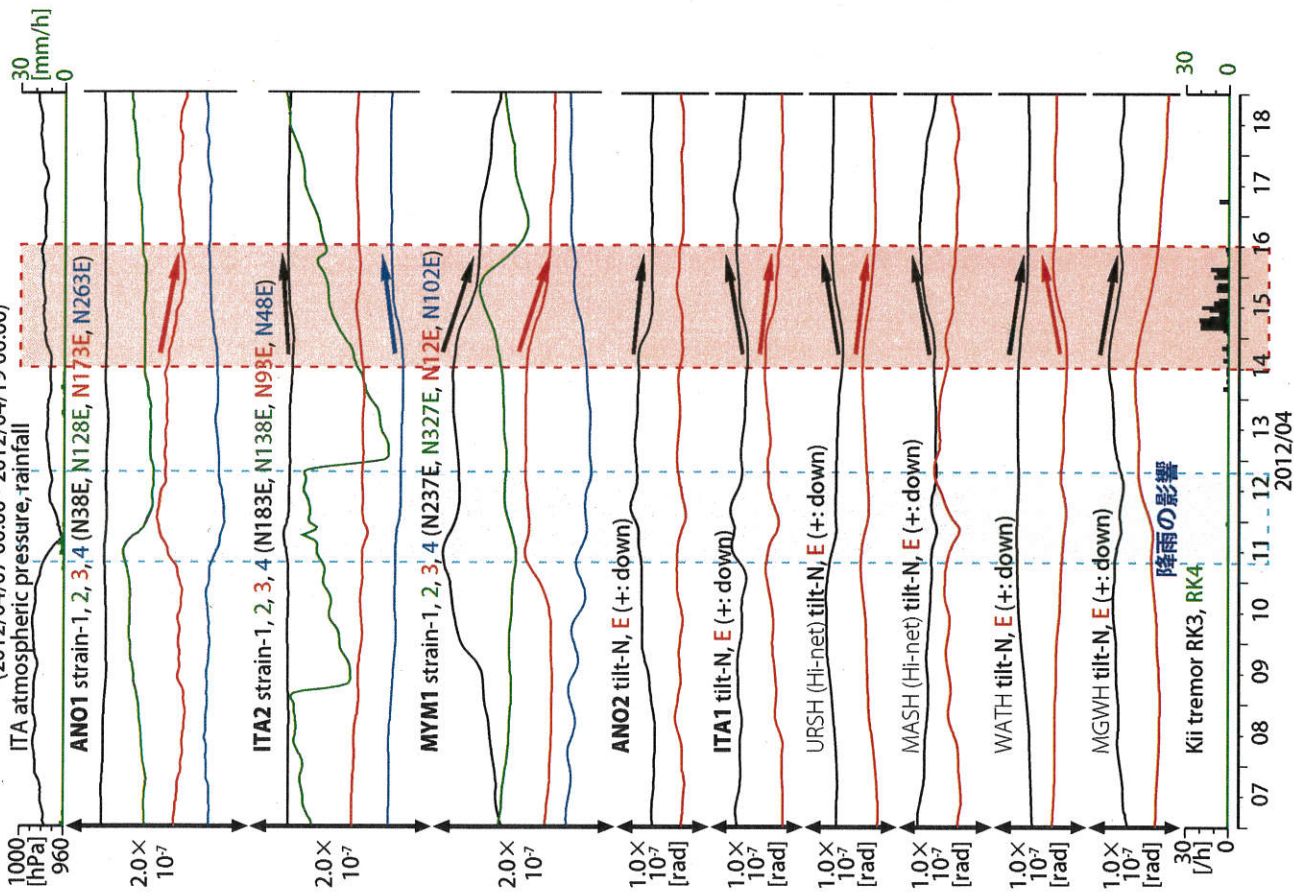
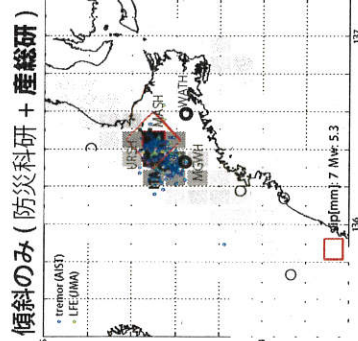
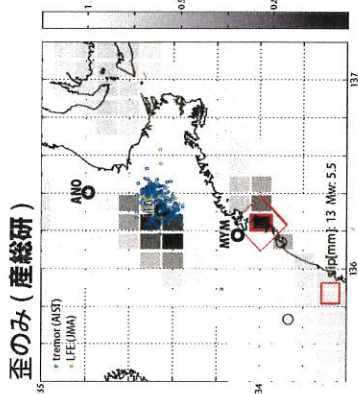


図 22: 2012/4/14 0:00 - 4/17 0:00 における紀伊半島の深部低周波微動の時空間分布図。エンロープ法により決定。

図23: 紀伊半島における歪・傾斜観測結果
(2012/04/07 00:00 - 2012/04/19 00:00)



歪・傾斜は直線トレンド、潮汐・気圧応答・ノイズ成分除去 (BAYTAP-G)



統合解析

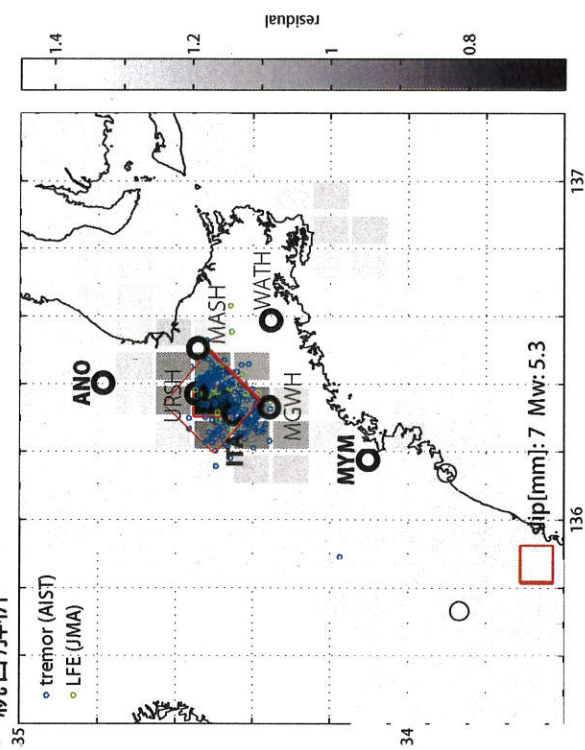
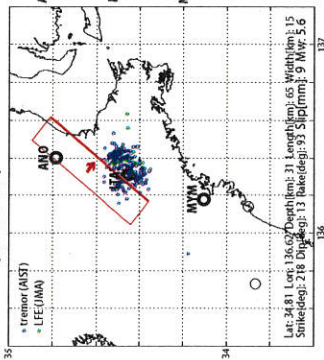
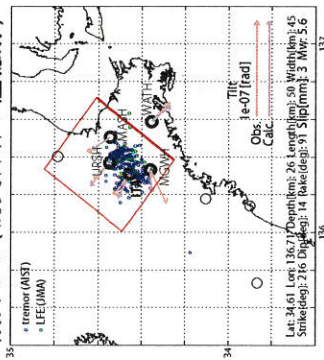


図24: プレート境界面上のハッチ(断面面)をすべらせた際の、歪・傾斜の観測値と計算値の残差分布図。小さく青色丸印は産総研による深部低周波微動、緑色丸印は気象庁一元化カタログによる低周波イベントの震央位置を示す。太字は産総研の、細字は防災科研Hi-netの観測点を示す。ハッチサイズは20×20km、すべり量は1-100mmで可変(1mm間隔)。表示しているグリッドは断面面下端中央の位置を示す。黒色矩形は最小残差の断面面を表す。このハッチのすべり量、Mwを下部に示している。太黒丸は計算に使用した観測点を示す。傾斜のみ、および統合解析では、残差の小さい領域(色の濃い領域)が狭く、一意性が高いと考えられる。

歪のみ (産総研)



傾斜のみ (防災科研 + 産総研)



統合解析

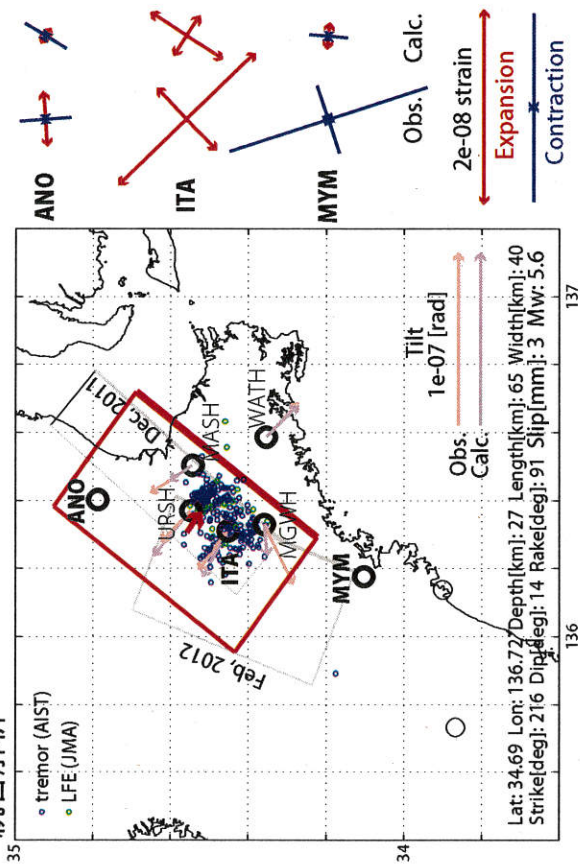
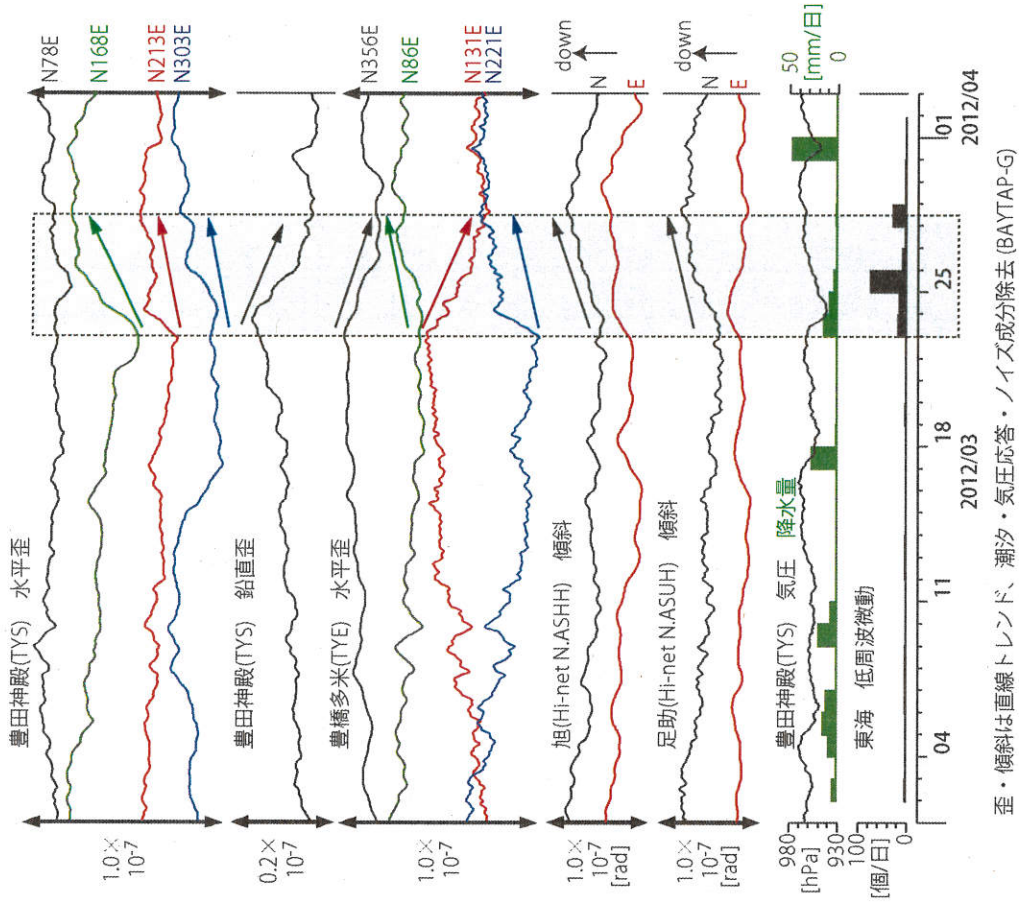


図25: プレート境界面上のグリッドサーチによる断層面推定結果(赤色矩形)。灰色の矩形は、2011年12月および2012年2月に発生した周辺の短期的SSEの推定断層面を示す。小さき青色丸印は産総研による深部低周波振動、緑色丸印は気象庁一元化カタログによる低周波イベントの震央位置を示す。太字は産総研の、細字は防災科研Hi-netの観測点名を示す。断層位置は経緯度方向に0.1度間隔、断層面の幅は10~50km、長さ10~80kmまでそれぞれ5km間隔、すべり量は1~100mmまで1mm間隔で計算した。歪を使用した解析では、右側に主歪の観測値と、推定された断層面による計算値との比較を示す。太黒丸は計算に使用した観測点を示す。

参考

図27: 愛知県における歪・傾斜観測結果 (時間値)
(2012/03/01 00:00 - 2012/04/03 00:00)

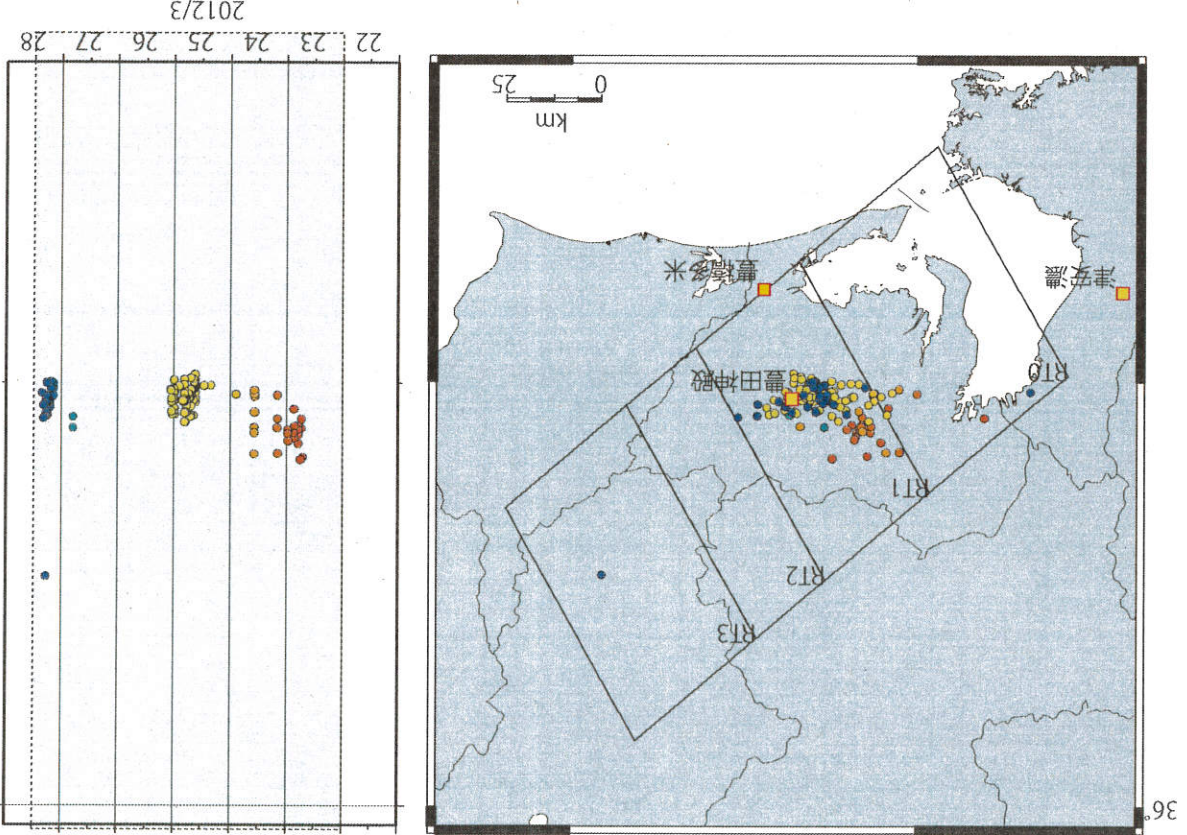


歪・傾斜は直線トレンド、潮汐・気圧応答・ノイズ成分除去 (BAYTAP-G)

この領域では240日目の2011年7月27日~8月1日に短期的SSEが発生したと推定されている。
この領域における2008年5月以降の6回(今回を除く)の活動の発生間隔は198~266日間であり、
今回は平均的な発生間隔である。

参考

図26: 2012/3/22 0:00 - 3/29 0:00 における愛知県での深部低周波微動の時空間分布図。エンベロープ相関法により決定。



参考

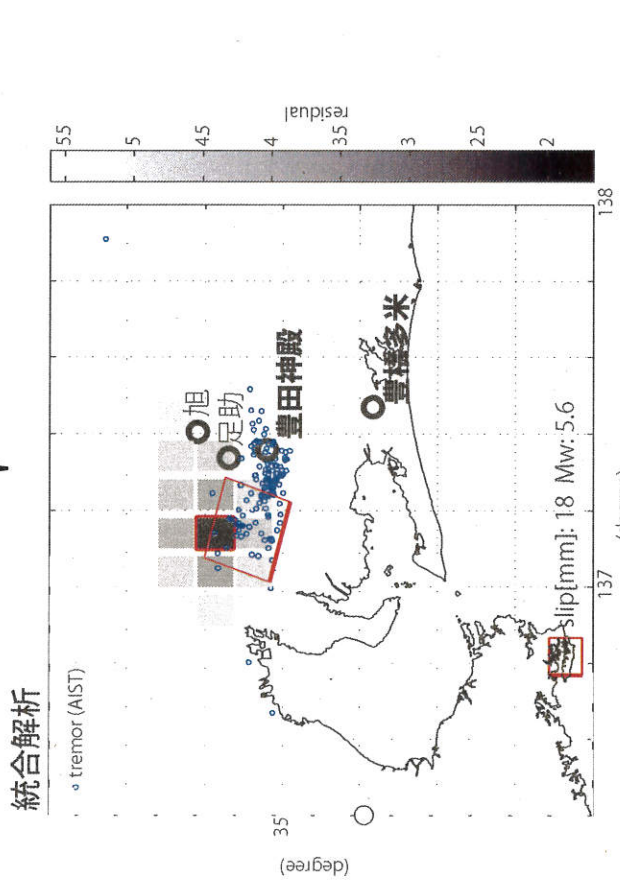
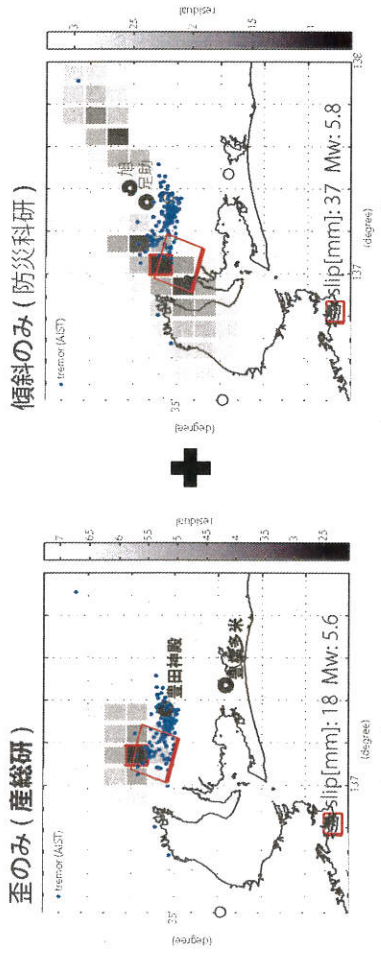


図28: プレート境界面上のパッチ(断層面)をすべらせた際の、歪・傾斜の観測値と計算値の残差分布図。小さい青色丸印は産総研による深部低周波微動の震央位置を示す。太字は産総研の、細字は防災科研 Hi-netの観測点名を示す。パッチサイズは 20×20 km、すべり量は1-100mmで可変(1mm間隔)。表示しているグリッドは断層面下端中央の位置を示す。黒色矩形は最小残差の断層面を表す。このパッチのすべり量、Mwを下部に示している。太黒丸は計算に使用した観測点を示す。

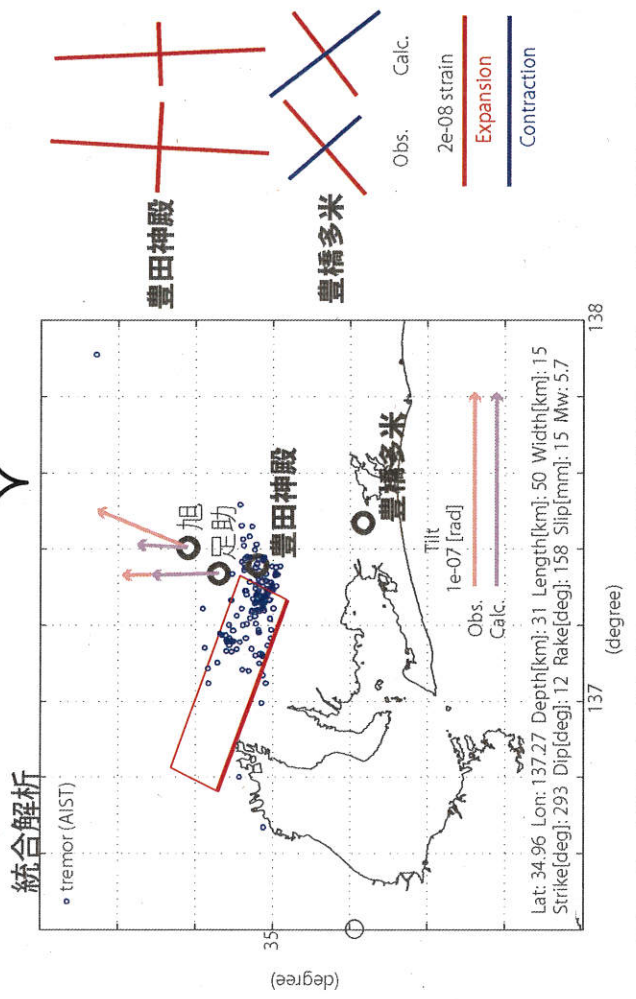
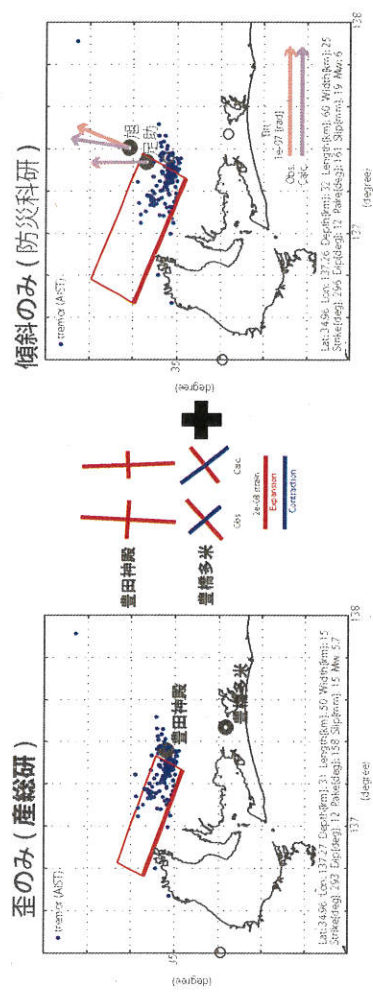
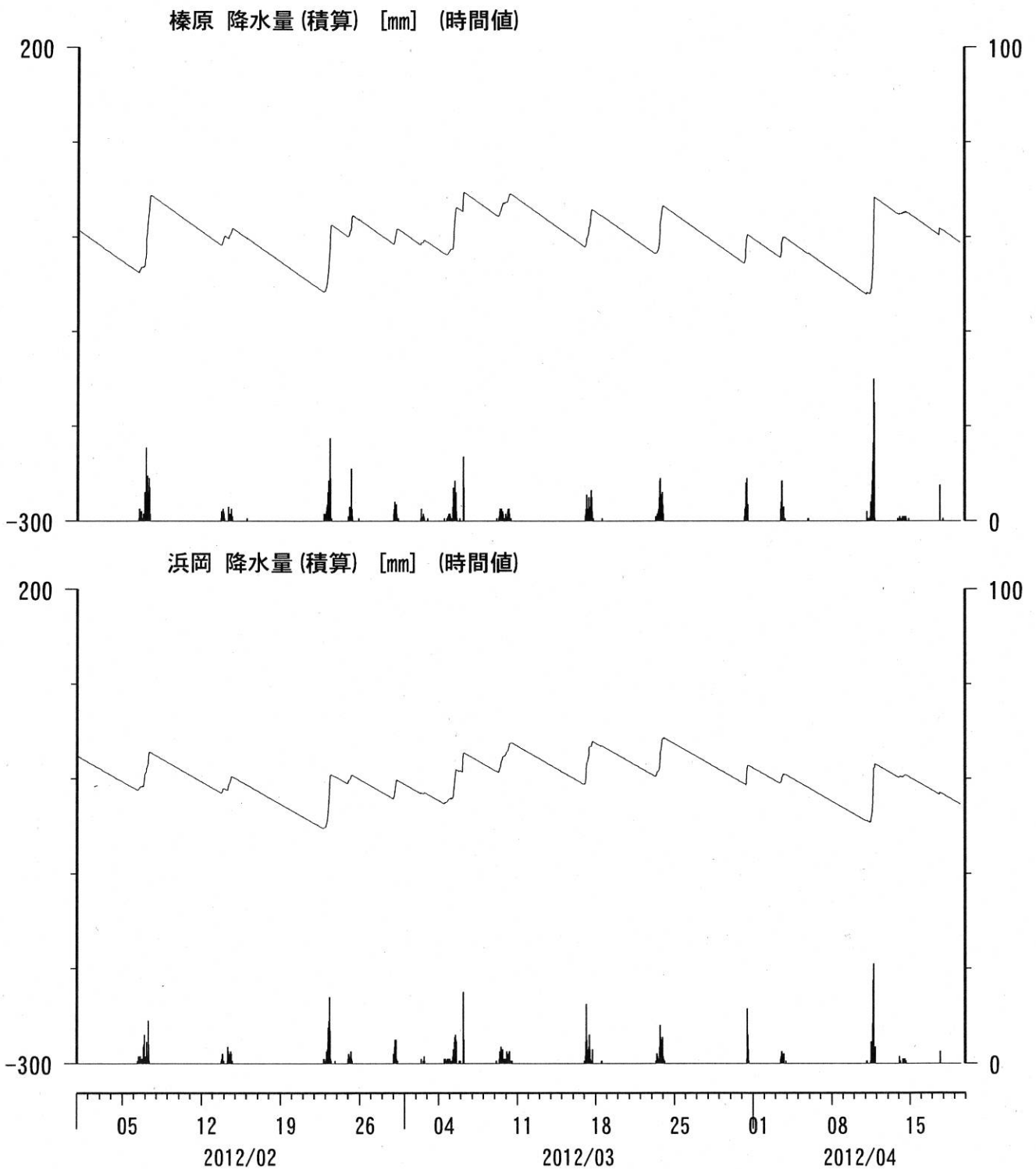


図29: プレート境界面上のグリッドサーチによる断層面推定結果(赤色矩形)。小さい青色丸印は産総研による深部低周波微動の震央位置を示す。太字は産総研の、細字は防災科研 Hi-netの観測点名を示す。断層位置は経緯度方向に 0.1 度間隔、断層面の幅は $10 \sim 50$ km、長さは $10 \sim 80$ kmまでそれぞれ 5 km間隔、すべり量は $1 \sim 100$ mmまで 1 mm間隔で計算した。歪を使用した解析では、右側に主歪の観測値と、推定された断層面による計算値との比較を示す。太黒丸は計算に使用した観測点を示す。

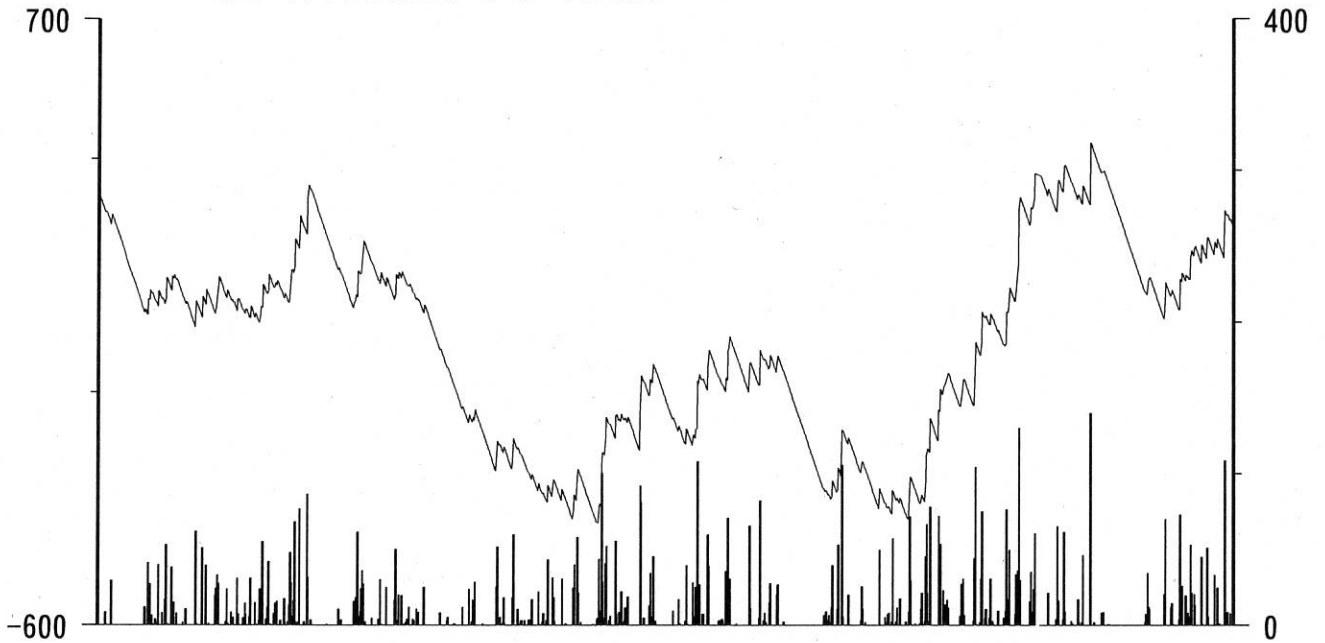
榛原・浜岡観測井 直近3ヶ月の積算降雨量トレンド除去グラフ [mm]
 (2012/02/01 00:00 - 2012/04/20 00:00)



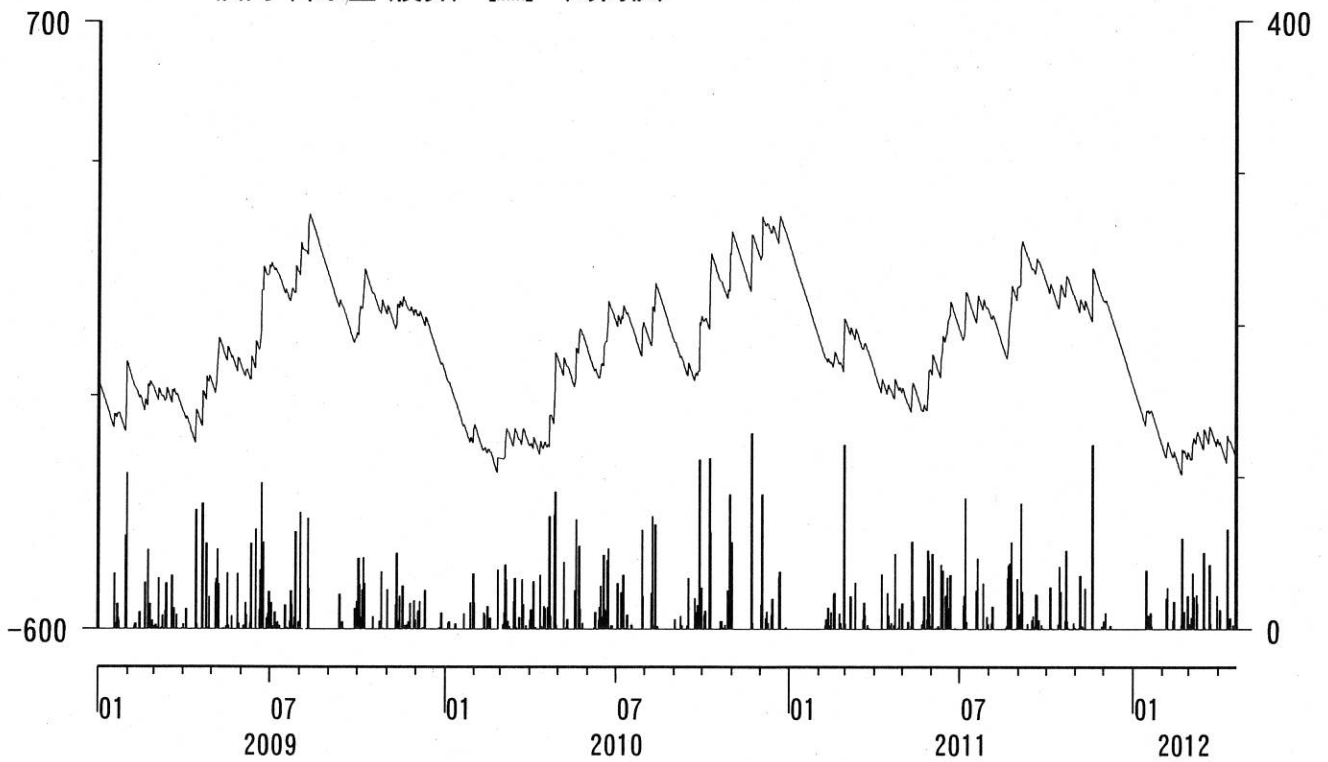
コメント：トレンドは、グラフに示している期間で求めている。

榛原・浜岡観測井 降雨量の積算からトレンド除去後のグラフ [mm]
 (2009/01/01 00:00 - 2012/04/20 00:00)

榛原 降水量 (積算) [mm] (時間値)



浜岡 降水量 (積算) [mm] (時間値)



コメント：トレンドは、グラフに示している期間で求めている。